Лекция 6

Проводящая система сердца. Физиологические свойства сердечной мышцы Сердечно-сосудистая

система

Движение крови по сосудам легких от правого сердца к левому, называется легочным кровообращением (малый круг).

Кровоснабжение всех остальных органов (и отток крови от них) называется системным кровообращением (большой или системный круг).

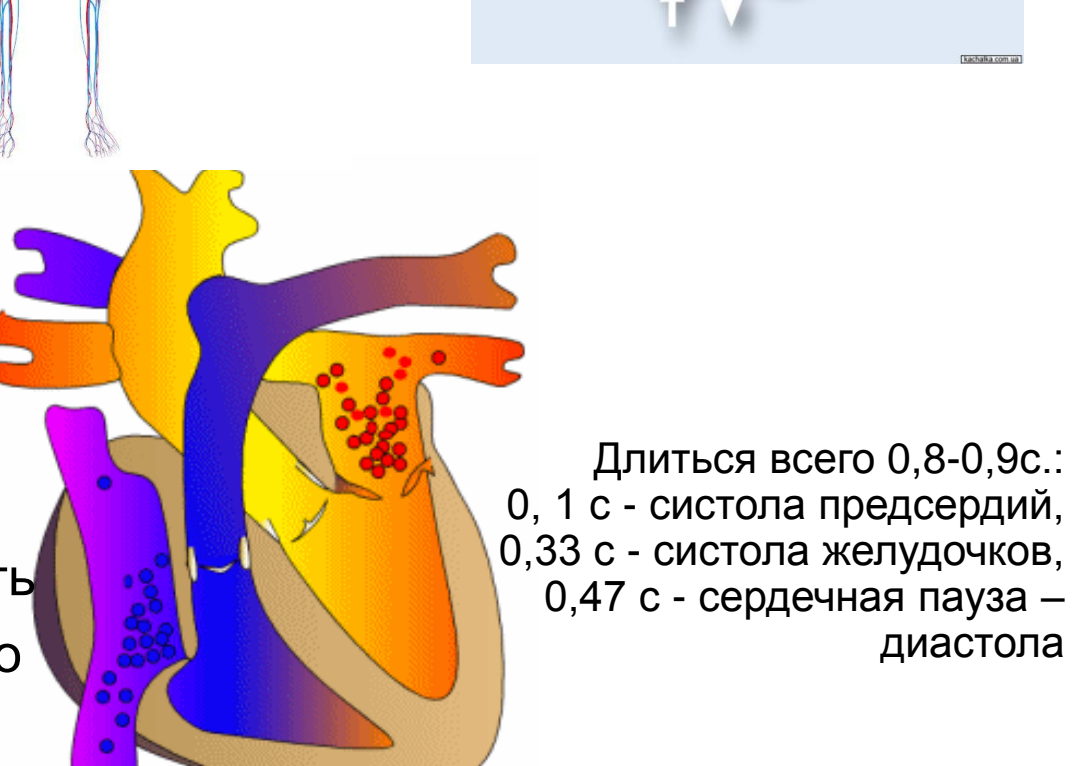
Сердечный цикл — понятие,

отражающее последовательность

процессов происходящих за одно

сокращение сердца и его

последующее расслабление.

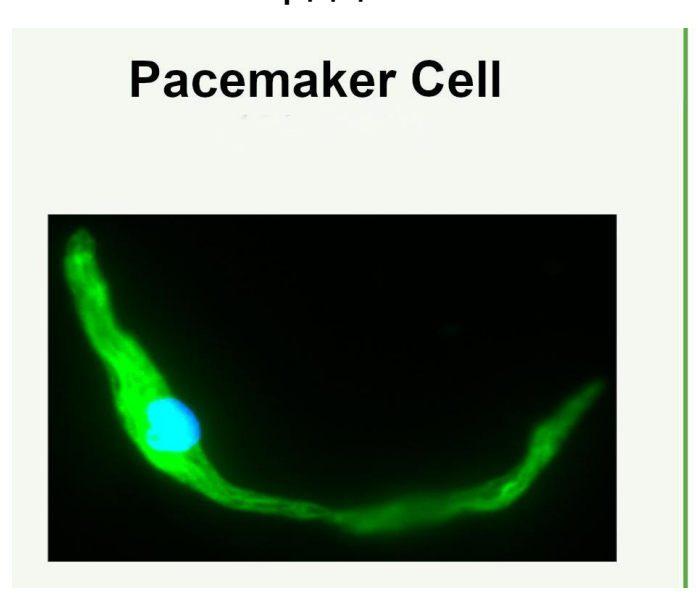


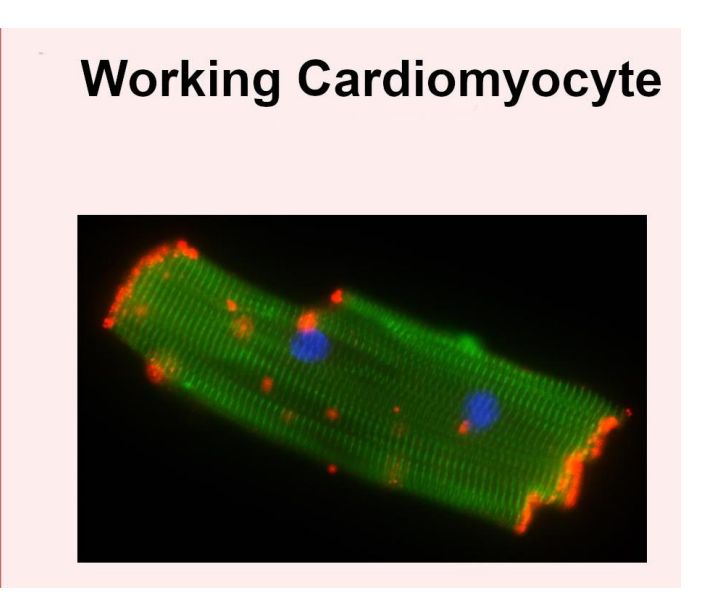
Систола предсердий, **0,1 с.**

Фаза серечного цикла	Период	Фаза	Дли- тель- ность, с	Атрио- вентрику- лярные клапаны	Полу- лунные клапа- ны	Давление в правом желудочке, мм рт. ст.	Давление в левом желудочке, мм рт. ст.	Давление в правом предсердии, мм рт. ст.	Давление в левом предсердии, мм рт. ст.
Систола желу- дочков, 0,33 с	Период напря- жения	Асинхронное сокраще- ние	0,05	0	3	6–8 → 9–10	6−8 → 9−10	≈ 3–8	≈ 8–15
		Изометрическое сокра- щение	0,03	O→3	3	9–10 → 10–15	9–10 → 70–80	3–8 → ≈0	8–15 ⇒ ≈0
	Период изгна- ния	Быстрое изгнание	0,12	3	3→0	10–15 → 20–25	70–80 → 120–130	0 → +1	0 → +1
		Медленное изгнание	0,13	3	0	20–25 → 15–20	120–130 → 80–90	≈0	≈0
Диасто- ла желу- дочков, 0,47 с	Протодиастолический период		0,04	3	O→3	15–20 → 5–10	80–90 → 60–70	0 → -1	0 → -1
	Период изометрического рассла- бления		0,08	3	3	5-10 → ≈0	60-70 → ≈0	≈-1	≈–1
	Период напол- нения	Быстрое наполнение	0,08	3→0	3	≈0	≈0	≈0	≈0
		Медленное наполнение	0,17	0	3	≈0	≈0	≈0	≈0
	Пресистолический период – си- стола предсердий		0,1	0	3	0 → 6–8	0 → 6–8	0 → 3–8	0 → 8–15

Свойства сердечной ткани

- Волокна рабочего миокарда
- Возбудимость, проводимость, **сократимость.**
- <u>А-типические кардиомиоциты</u> образующие проводящую систему сердца.
 - Возбудимость способность отвечать на раздражитель генерацией потенциала действия (ПД).
 - Проводимость способность проводить ПД по мембране клетки.
 - <u>Автоматия</u> способность атипических клеток генерировать импульсы (ПД) спонтанно (самовозбуждение) возникновение ПД в самом сердце.





Ravi Mandla et al Transcriptional and Epigenetic Landscape of Cardiac Pacemaker Cells: Insights Into Cellular Specialization in the Sinoatrial Node // Front. Physiol., 2021, Sec. Cardiac Electrophysiology

Проводящая система сердца

Она включает следующие компоненты.

<u>Синоатриальный узел (SA node)</u> –

ритмо-задаватель первого порядка

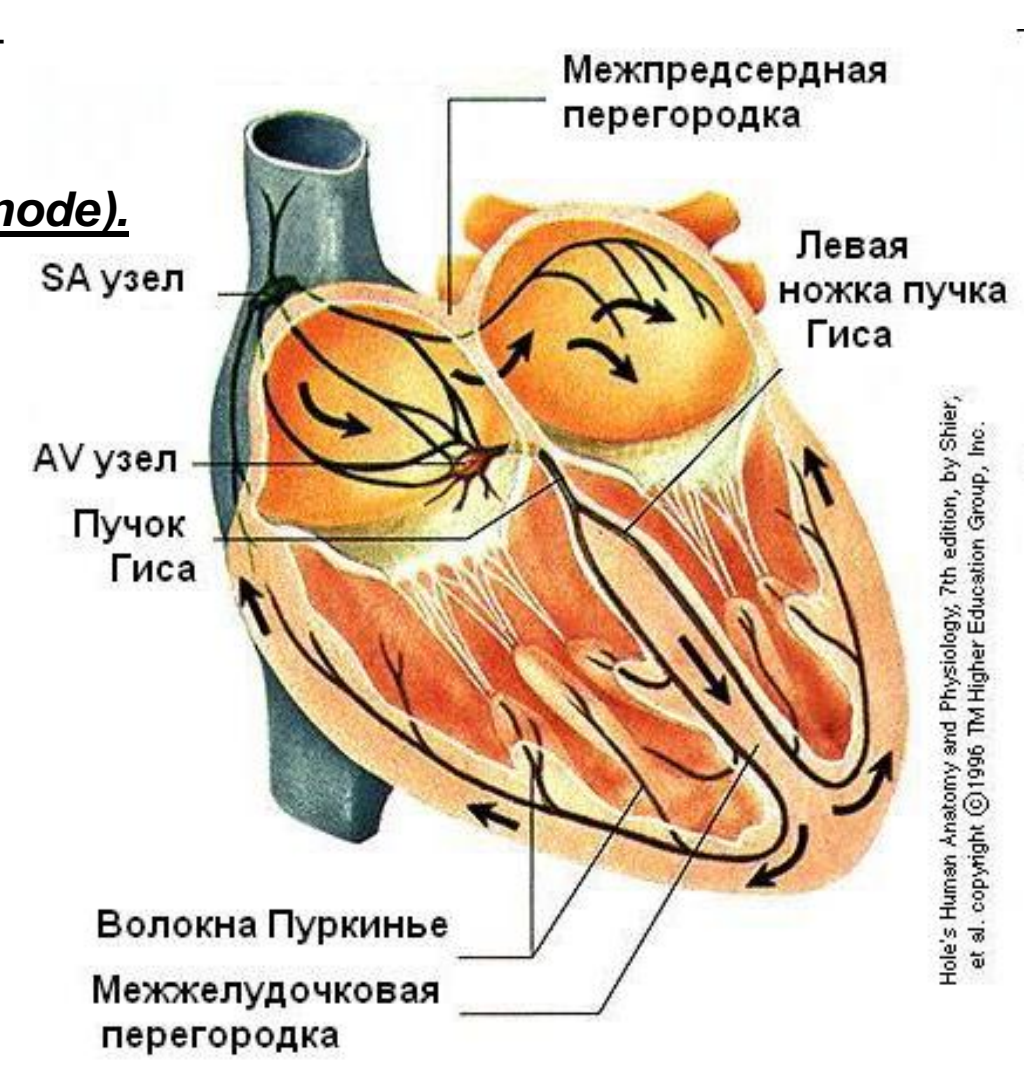
Атриовентрикулярный узел (AV node).

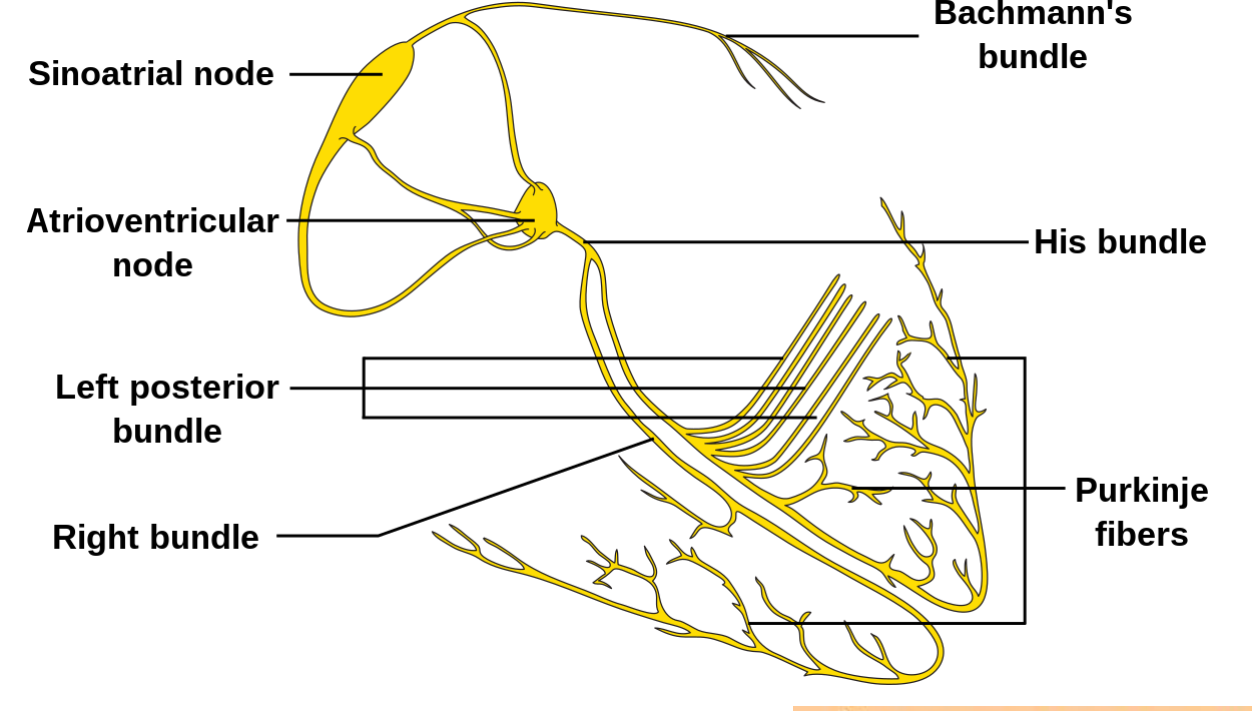
Пучок Гиса (до 1 см) –

идёт в межжелудочковой перегородке, затем к желудочкам, делится на 2 ножки.

<u> Волокна Пуркинье</u> –

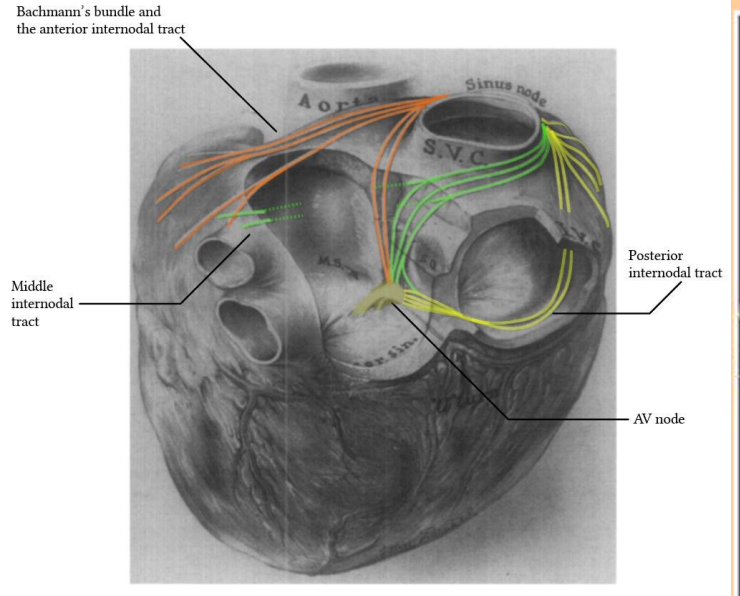
образуют контакты на кардиомиоцитах, обеспечивают сопряжение поступления возбуждения и мышечного сокращения.

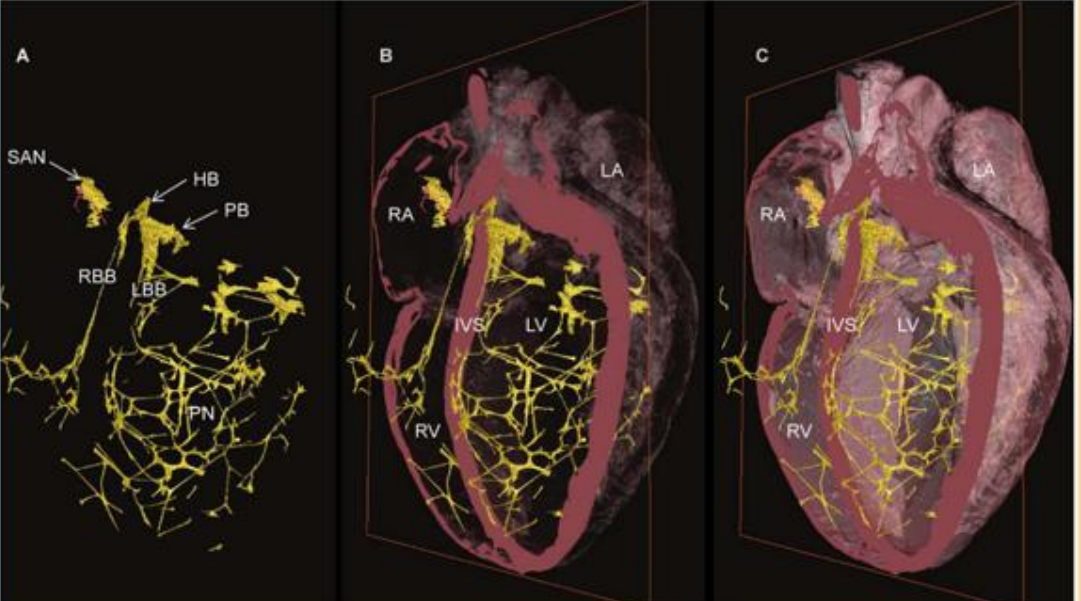




Проводящая система сердца.

Реалистическая компьютераня реконструкция проводящей системы сердца





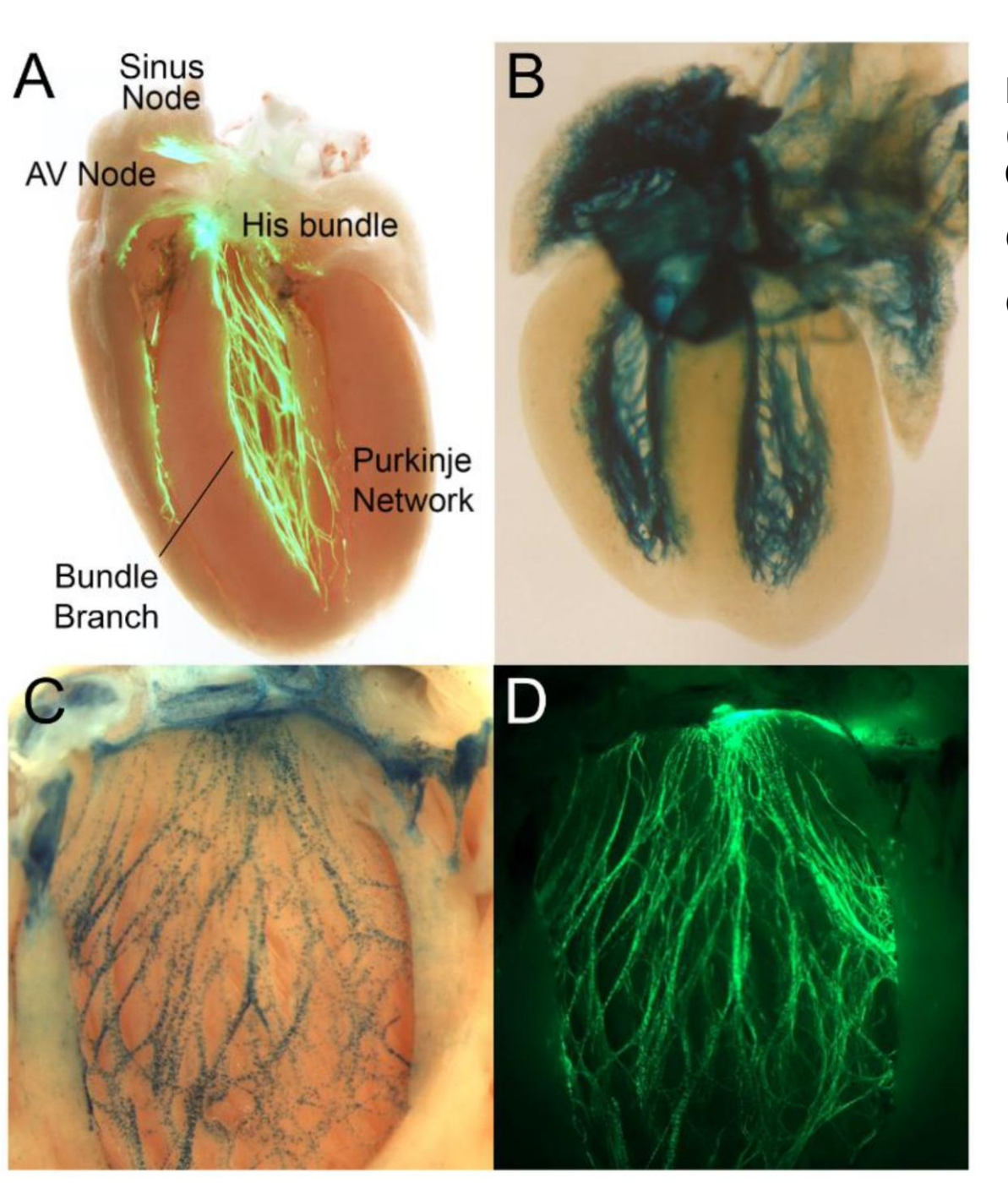
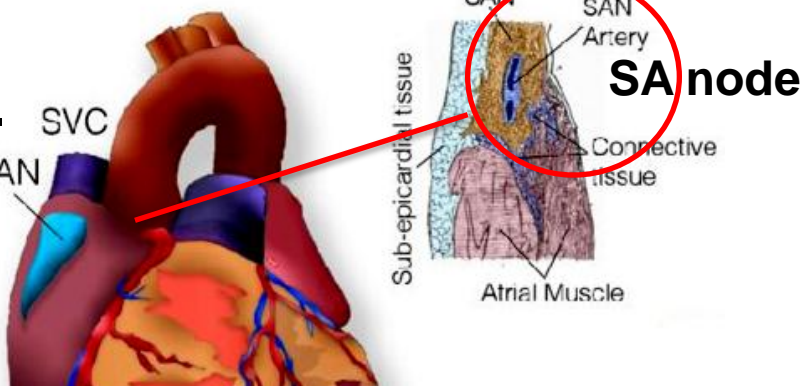


Figure 1. Cardiac conduction system (CCS) reporter mice.

- (A) Contactin2-eGFP demonstrating CCS components;
- (**B**) cardiac conduction system reporter-LacZ in an embryonic day 17.5 heart;
- (C,D) co-expression of Etv1-nuclear LacZ (C) in a Contactin2-EGFP; (D) background delineating the left ventricular conduction system. AV, atrioventricular.

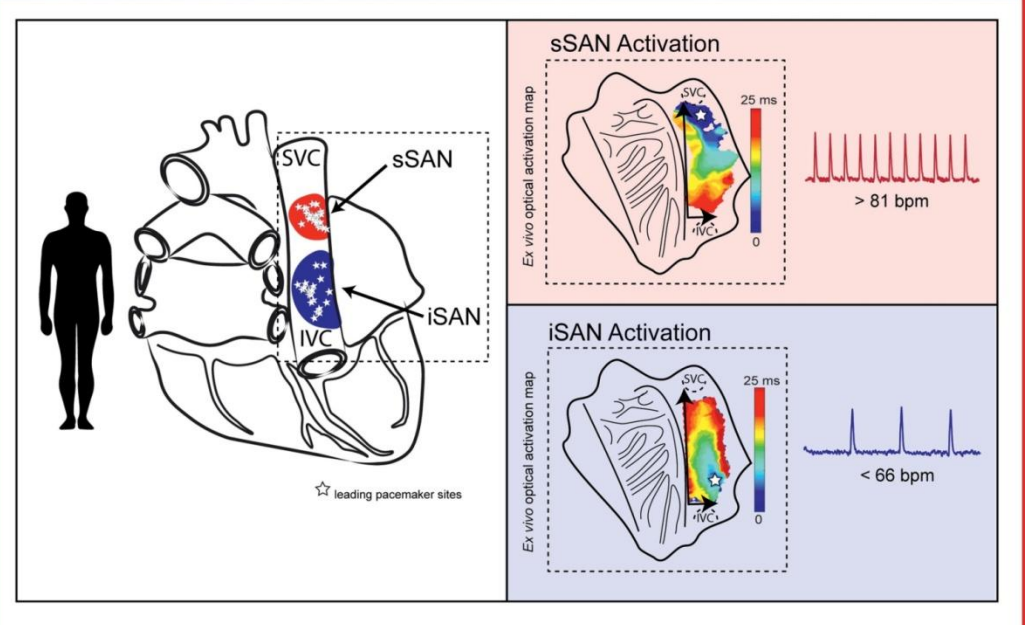
David S. Park and Glenn I. Fishman * Development and Function of the Cardiac Conduction System in Health and Disease // Journal of Cardiovascular Development and Disease 2017, 4(2), 7; doi:10.3390/jcdd4020007

Проводящая система сердца.

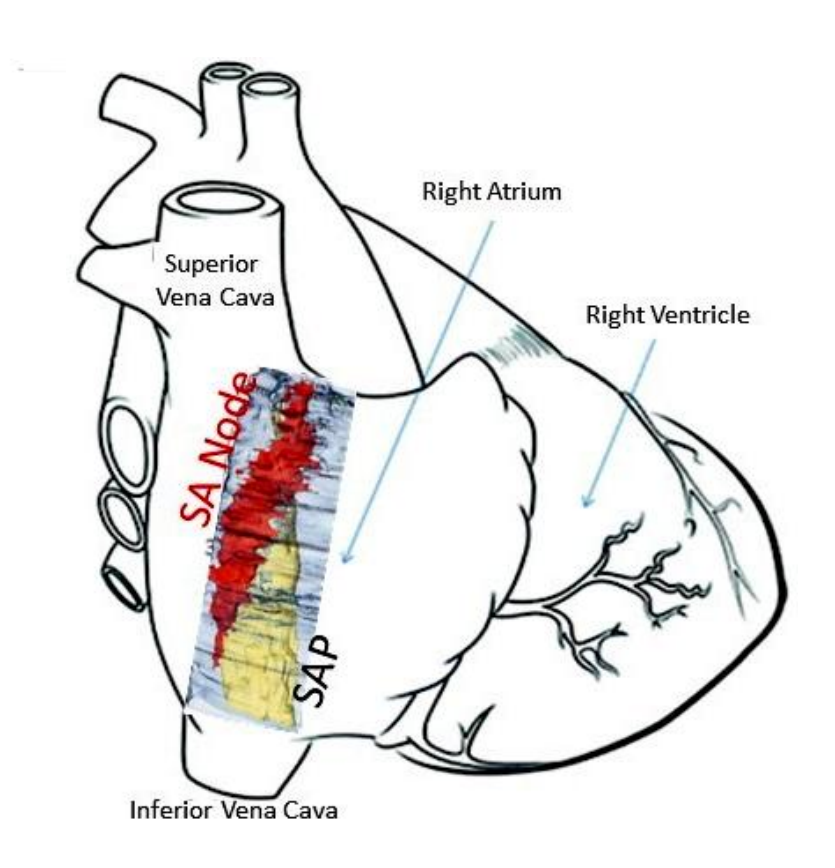


CENTRAL ILLUSTRATION: Sinus Rhythm Is Driven by 2 Distinct Pacemaking Regions in the Human Heart

IVC



Brennan, J.A. et al. J Am Coll Cardiol EP. 2020;6(14):1827-40.

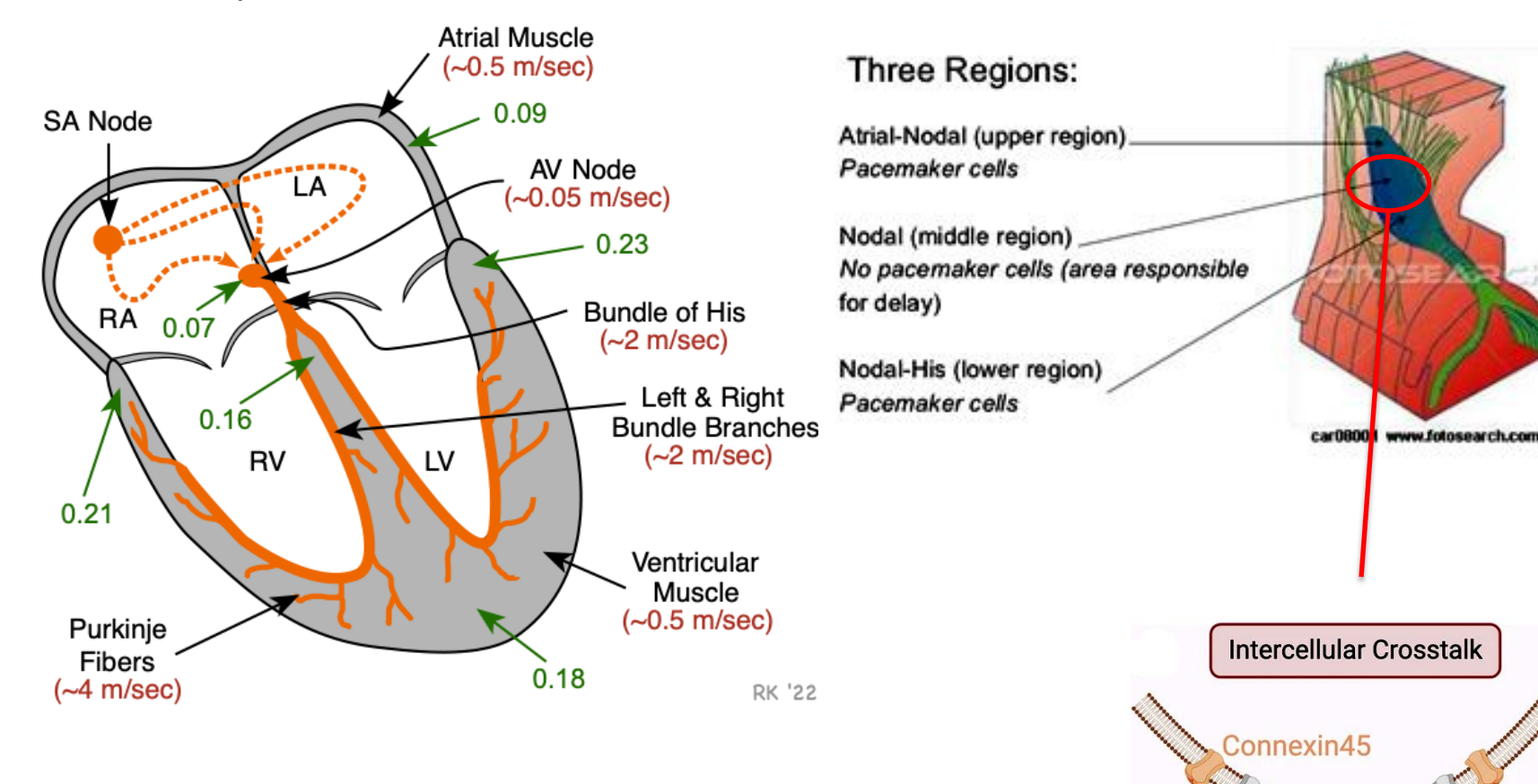


AV Node

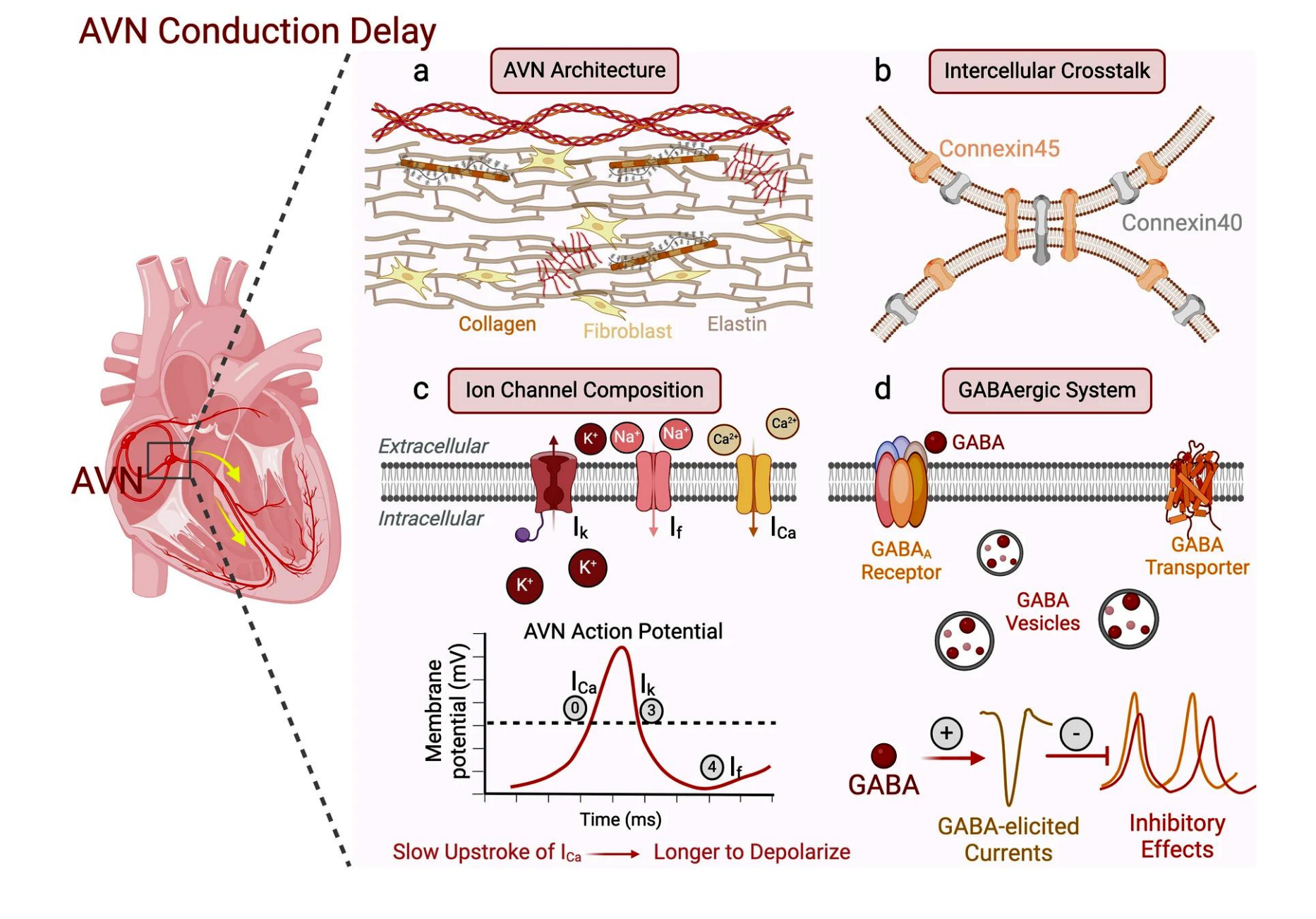
Различная скорость проведения ПД в различных участках АВ узла

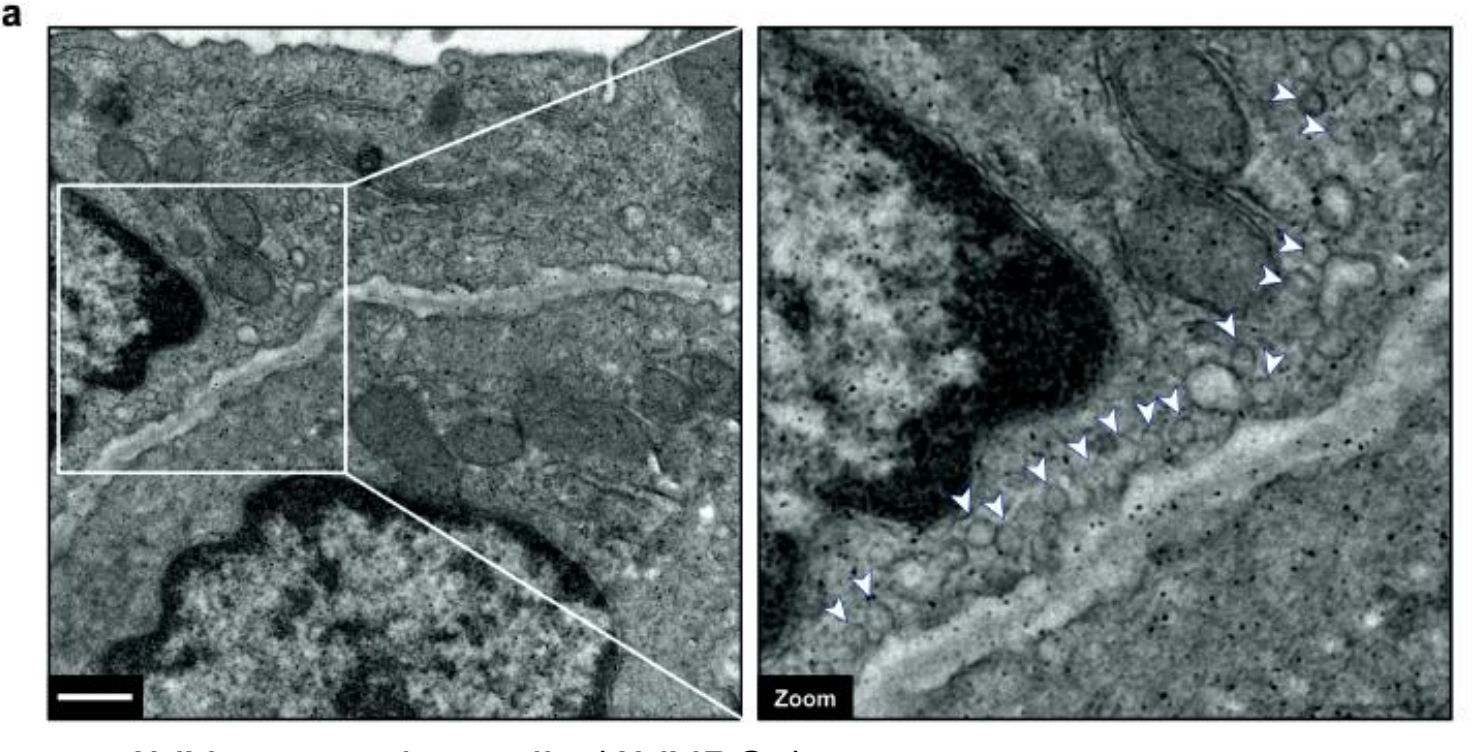
Connexin40

Различия в скоростях распространения ПД по тканям сердца



АВ задержка - составляющая 0,04 - 0,06 с, позволяющая правильно сформировать сердечный цикл, как последовательные систолы предсердий и в последующем желудочков.





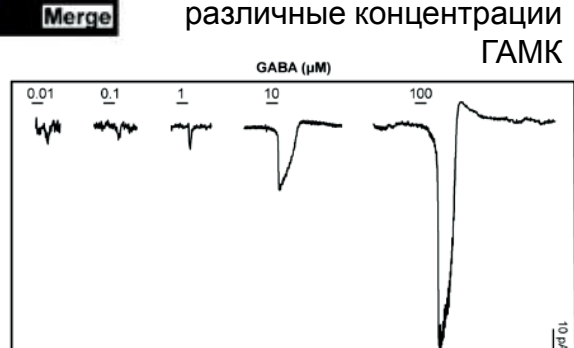
AVN pacemaker cells (AVNPCs) - white arrows indicate the vesicles.



CAST - vesicle marker

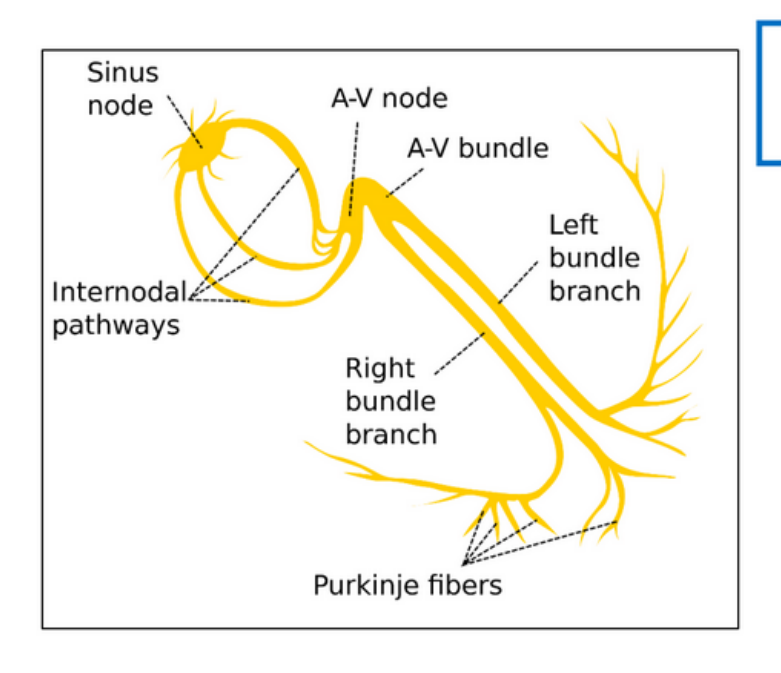
HCN4 - potassium/sodium hyperpolarization-activated cyclic nucleotidegated channel 4

Dandan Liang et al., A GABAergic system in atrioventricular node pacemaker cells controls electrical conduction between the atria and ventricles // Cell Research (2024) 34:556-571; https://doi.org/10.1038/s41422-024-00980-x



от AVNPCs (patch clamp whole-cell)в ответ на Атипические кардиомиоциты АВ узла, пучка Гиса и волокон Пуркинье, обладают скрытой (латентной) – пейсмейкерной активностью (латентные ритмо-задаватели).

Action potentials and latent pacemakers

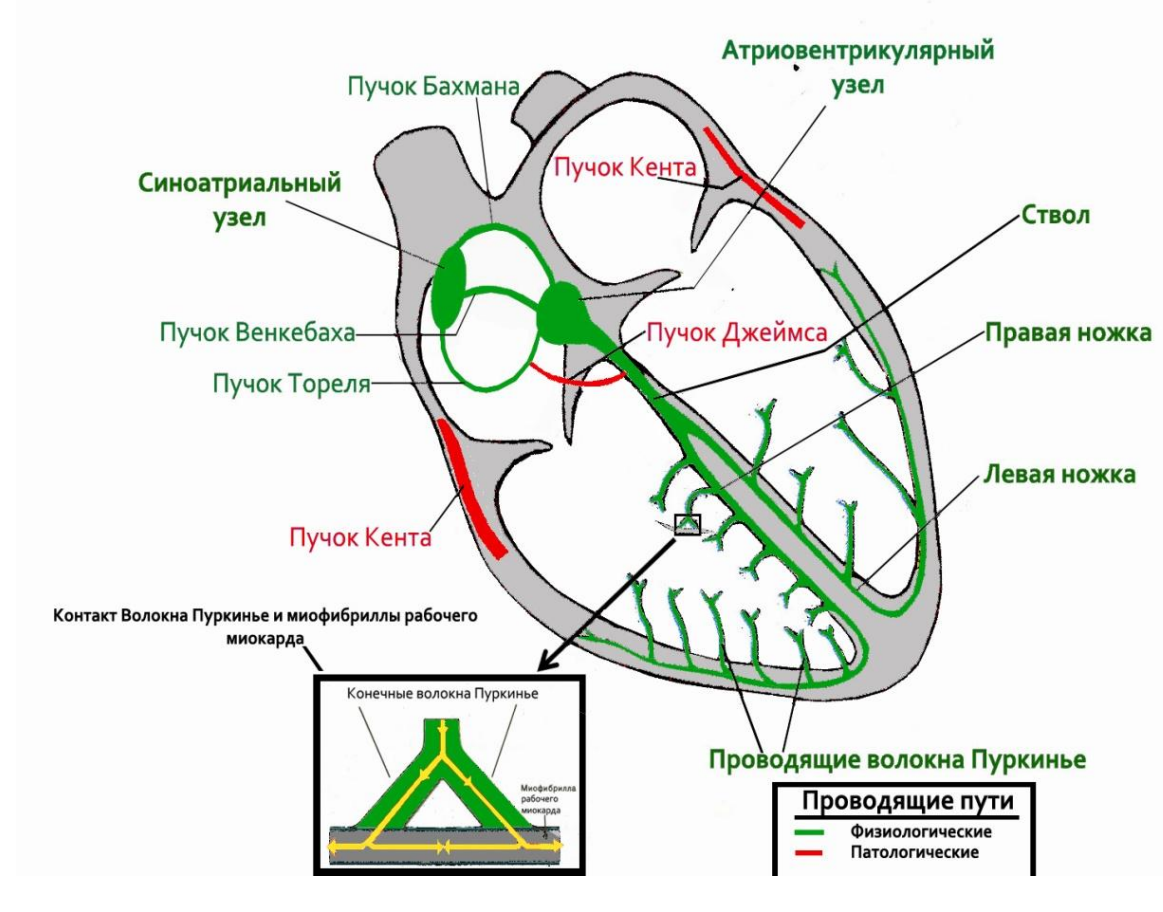


Firing rate (impulses/min) of SA node and other cells

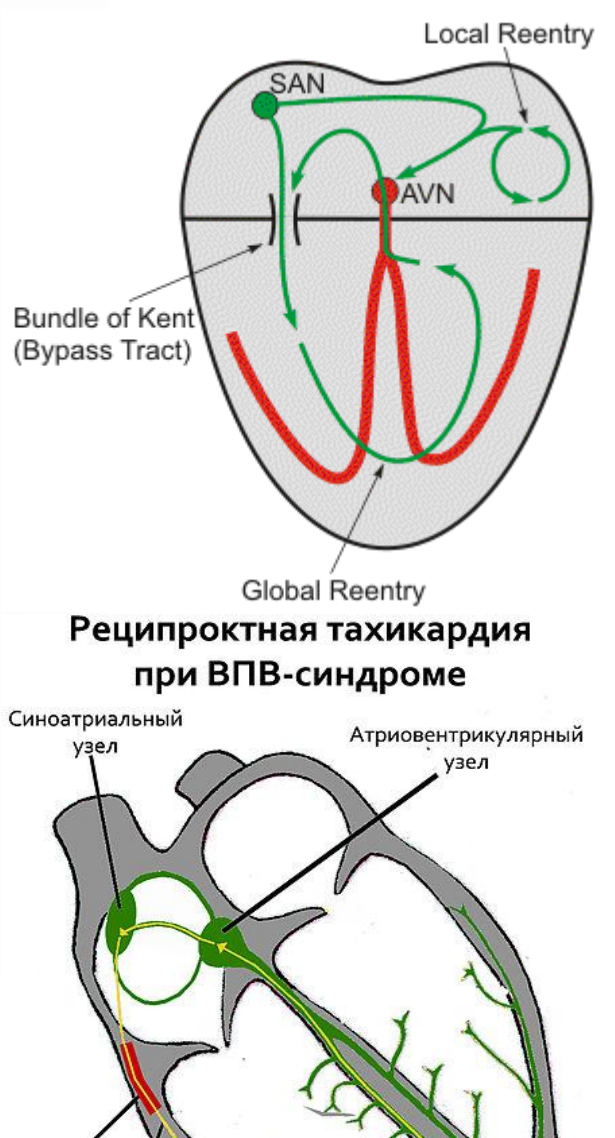
Location	Intrinsic firing rate
SA node	70-80
AV node	40-60
Bundle of His	40
Purkinje fibers	15-20

Градиент автоматии

Проводящая система сердца



синдром Вольфа-Паркинсона-Уайта (WPW) – это один из видов предвозбуждения желудочков.



Пучок Кента

> Электрический импульс

В основе всех ответных (физиологических) реакций живого лежит способность реагировать на раздражитель.

Возбудимые ткани - ткани обладающие возбудимостью (нервная, мышечная и железистая ткань).

Возбудимость - способность ткани отвечать на раздражитель специализированной реакцией - возбуждением.

<u>Раздражитель</u> – любое (адекватное) изменение внешней или внутренней среды, которое действует на живой объект - клетку или многоклеточную систему.

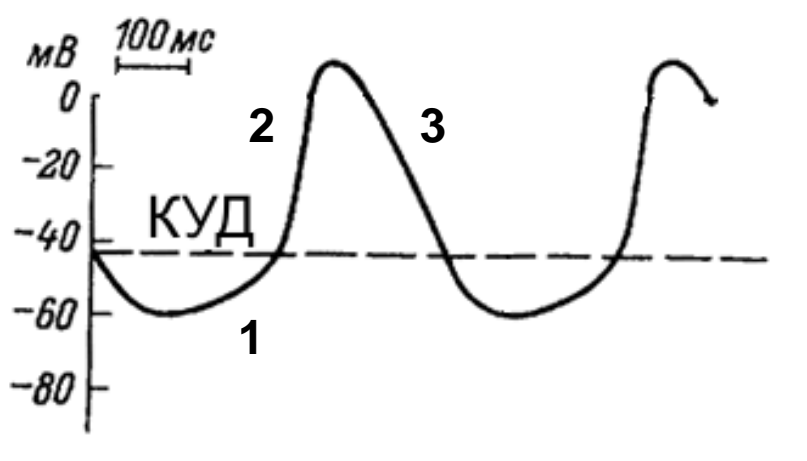
Возбуждение - это сложный биологический процесс, как ответная реакция на раздражитель, который характеризуется проявлением специализированной реакции клетки в виде временного изменения электрического заряда на ее мембране.

Два дискретных состояния возбудимой клетки:

- состояние покоя
- состояние возбуждения.

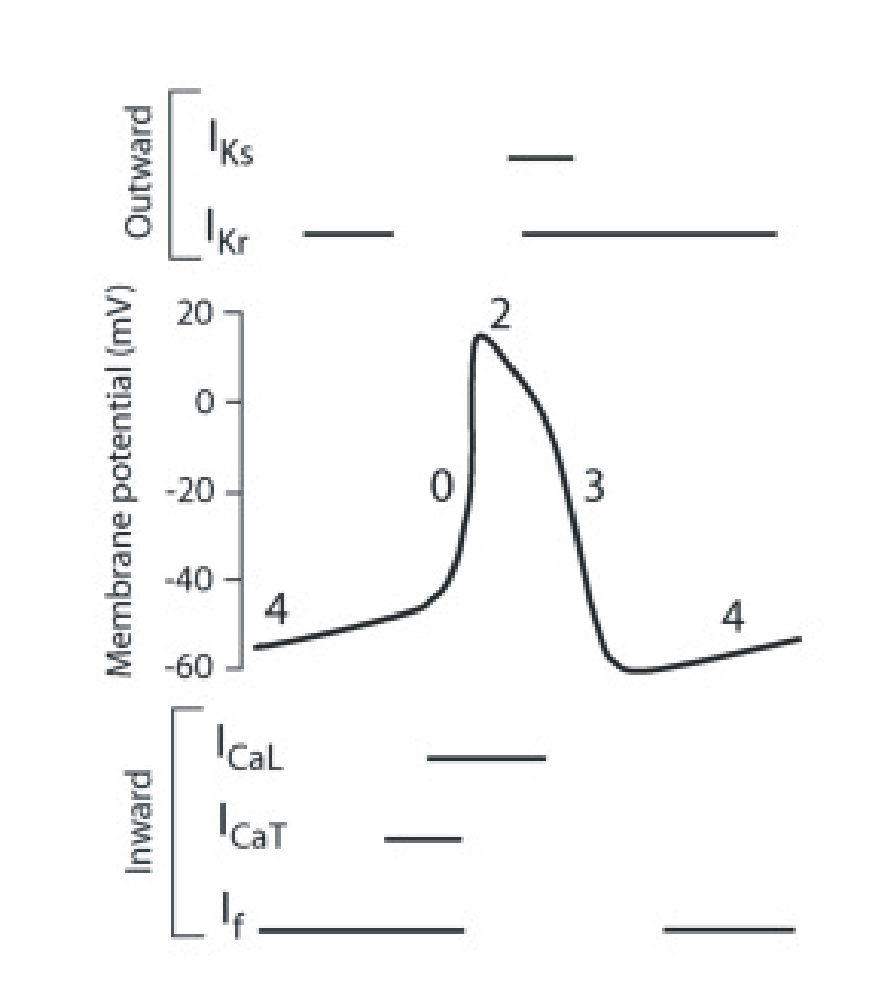
Мембранный потенциал (МП) – разность зарядов внутри и снаружи клетки.

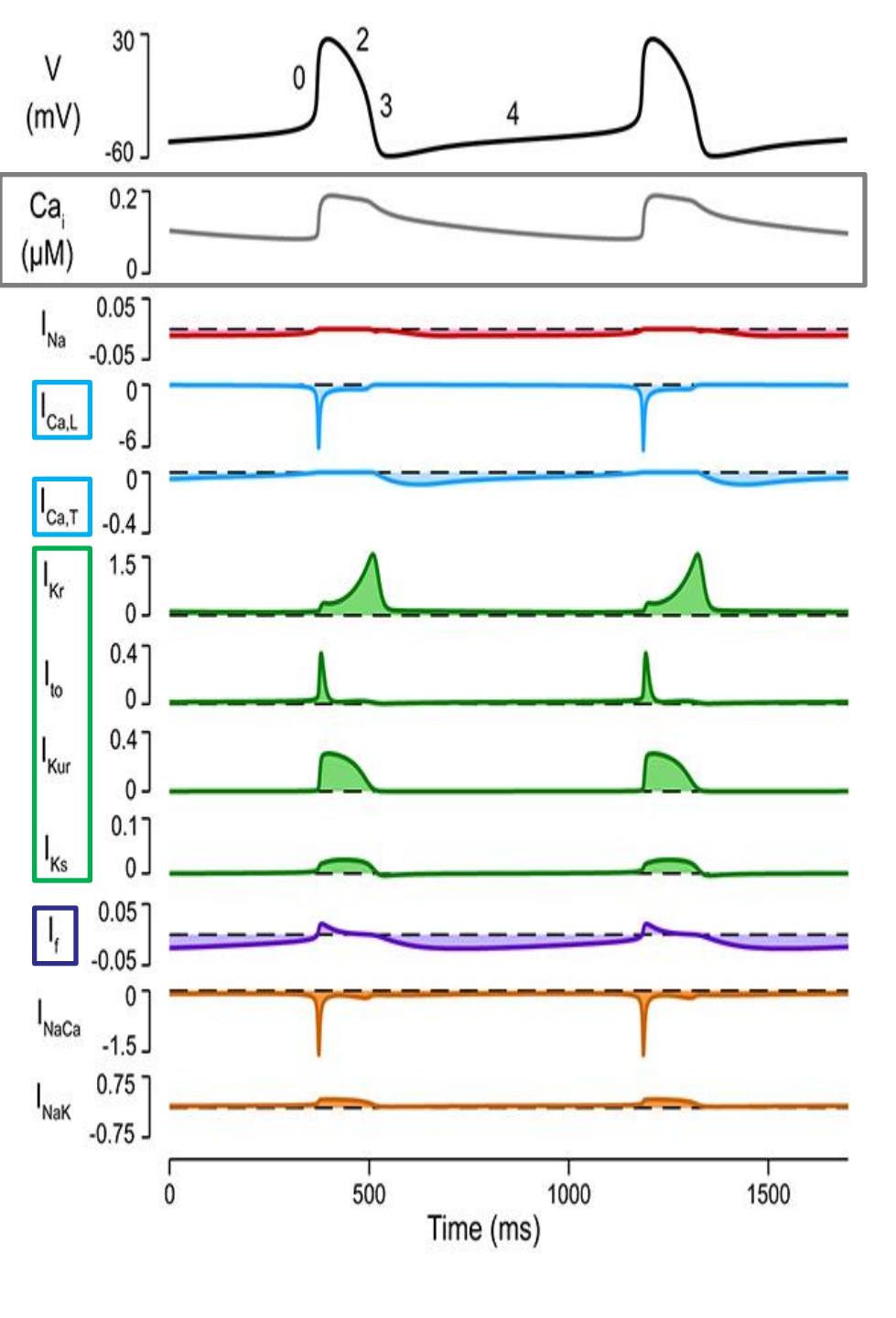
На мембране **атипических кардиомиоцитов**, обладающих автоматией, МП способен **спонтанно** уменьшаться (становиться менее отрицательным) до КУД, что приводит к возникновению импульса –или ПД.



1 - медленная спонтанная диастолическая деполяризация (объясняет свойство автоматии) -проводимость неселективных катионовых каналов (f- каналы или H – каналы; Na и Ca)

- 2 быстрая деполяризация
- быстрые кальциевые каналы
- **3 –** быстрая реполяризация калиевые каналы





Основные ионные токи, активирующиеся в различные фазы ПД в синоатриальном узле.

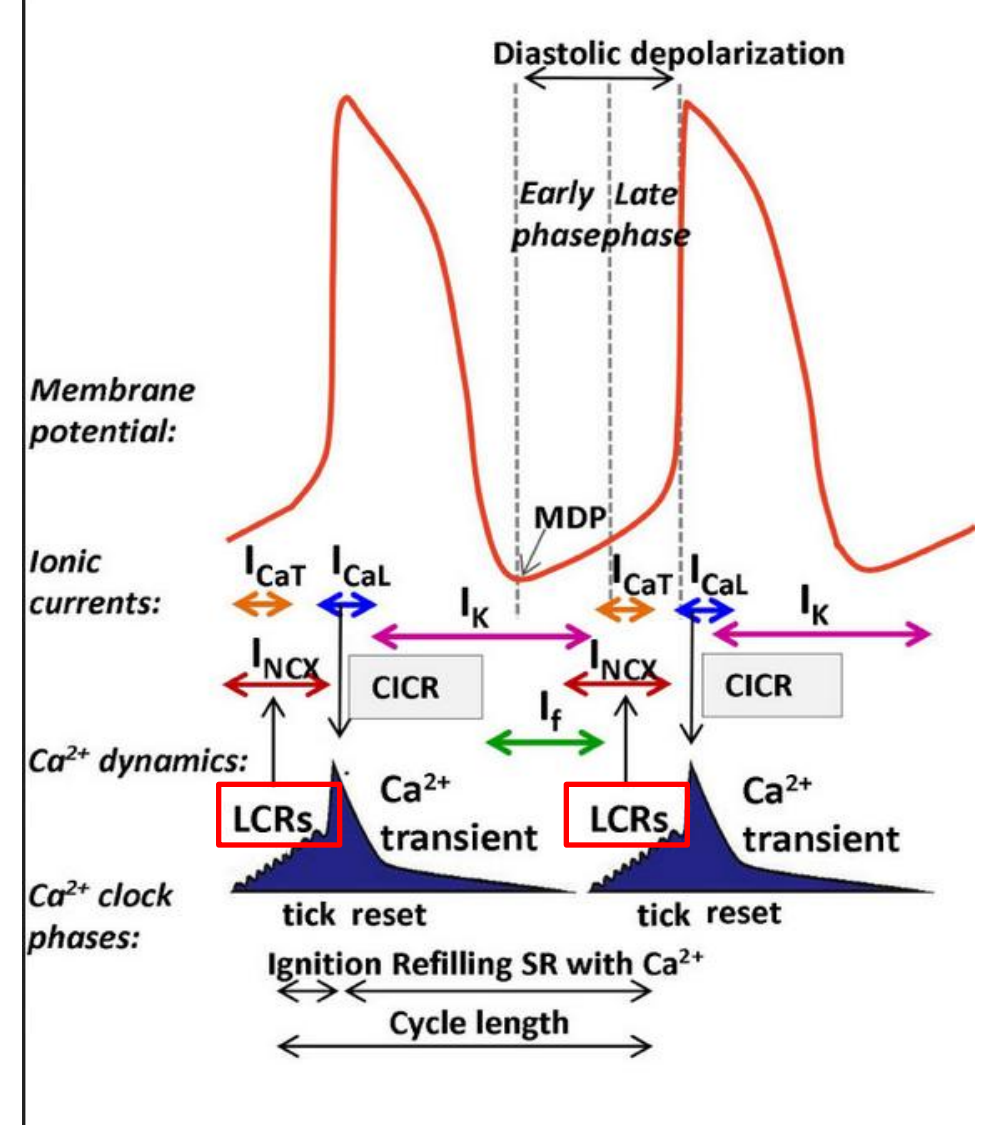
- I_к калиевый ток задержанного выпрямления,
- $I_{\rm f}$ пейсмейкерный ток, активируемый гиперполяризацией,
- I_{Ca,T} Т-тип (от *transient* преходящий) Ca²⁺- токов активируется слабой деполяризацией и эти токи мимолетные (преходящие),

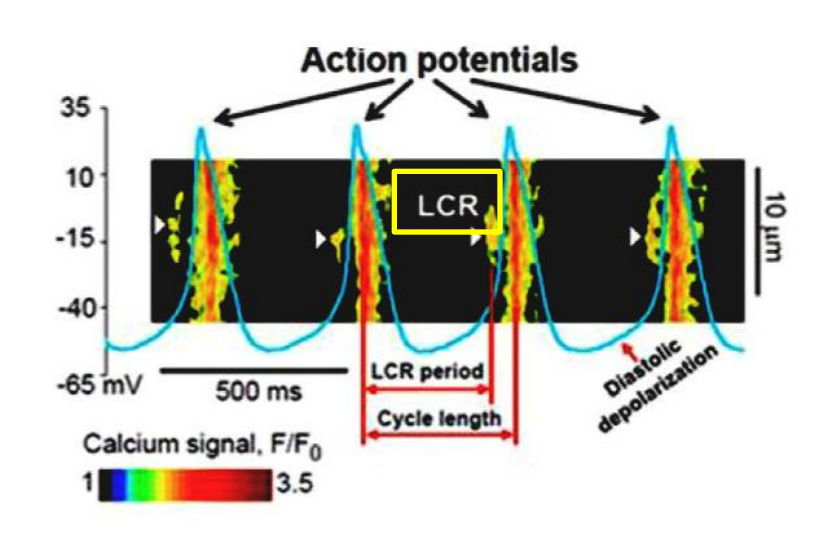
I_{Ca,L} (от *long-lasting* - долгодлящийся) Ca²⁺-ток.

Реконструкция спонтанной активности клетки CA узла с помощью компьютерной модели DiFrancesco-Noble.

Показаны амплитуды ионных токов I_K , I_{bg} , I_f и I_{Ca} ($I_{Ca,L} + I_{Ca,T}$)

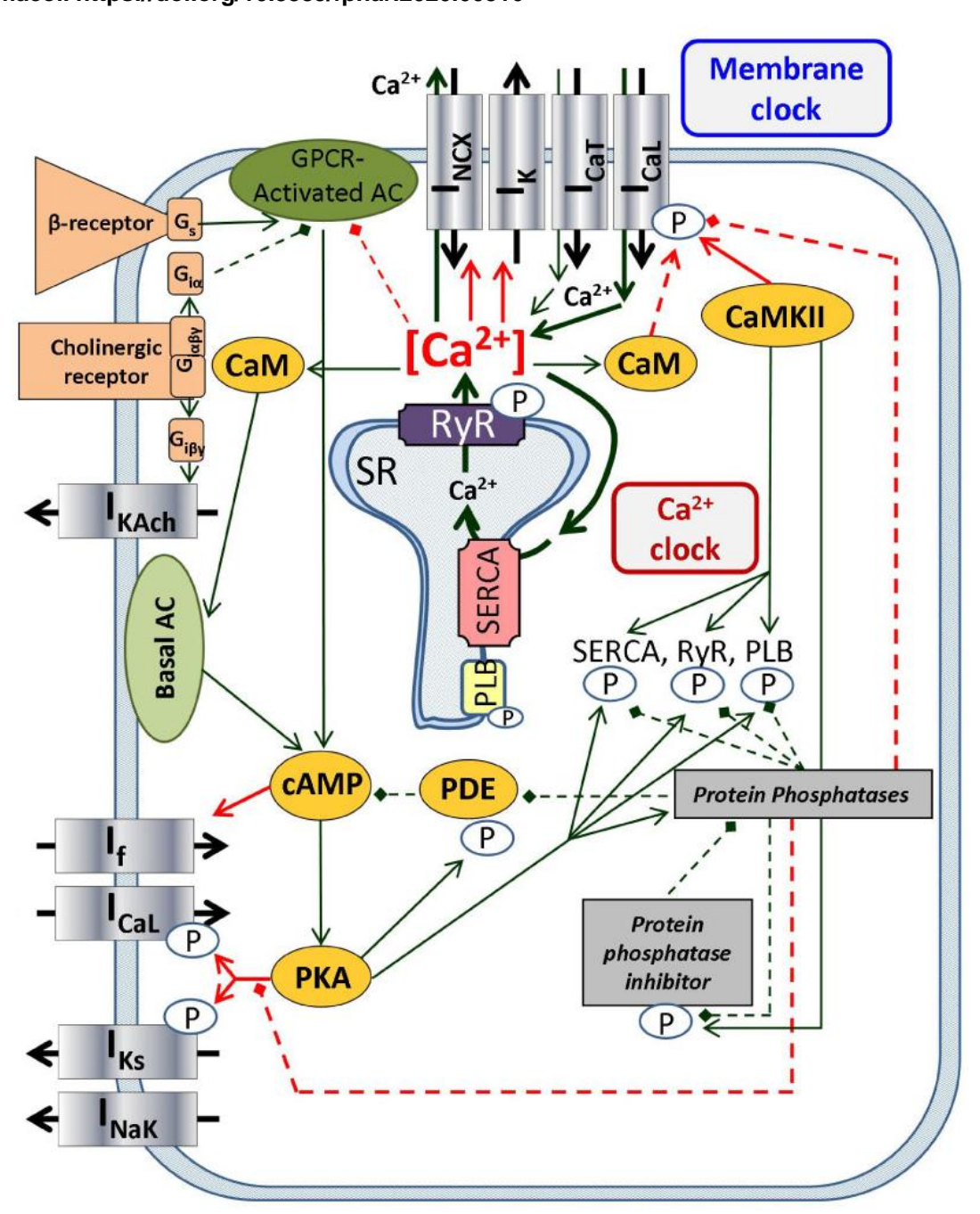
Роль NCX в пейсмекерной активности SN

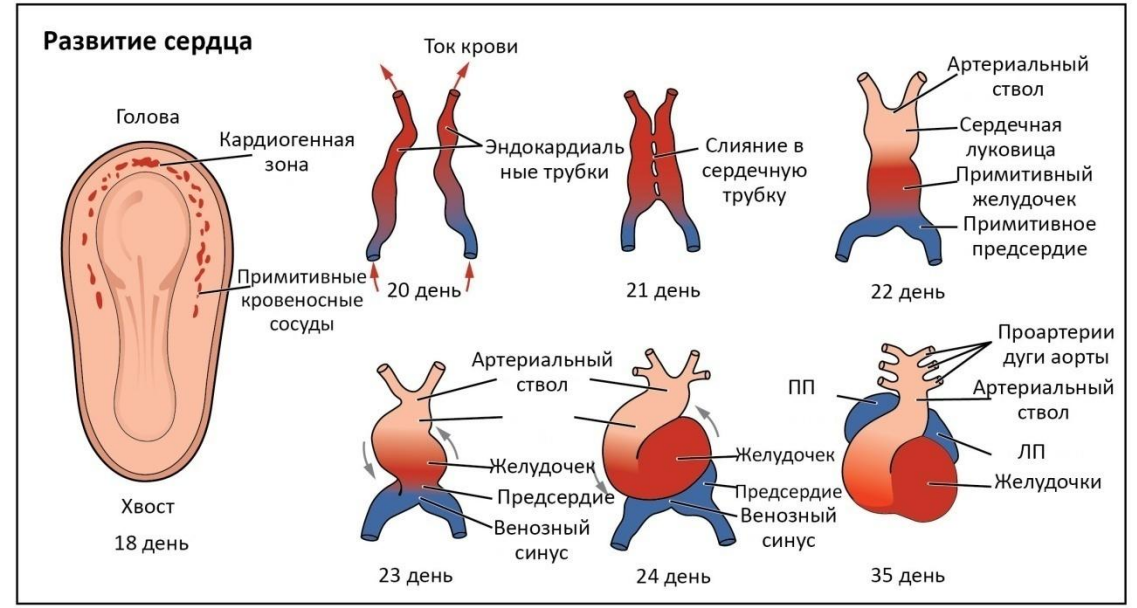


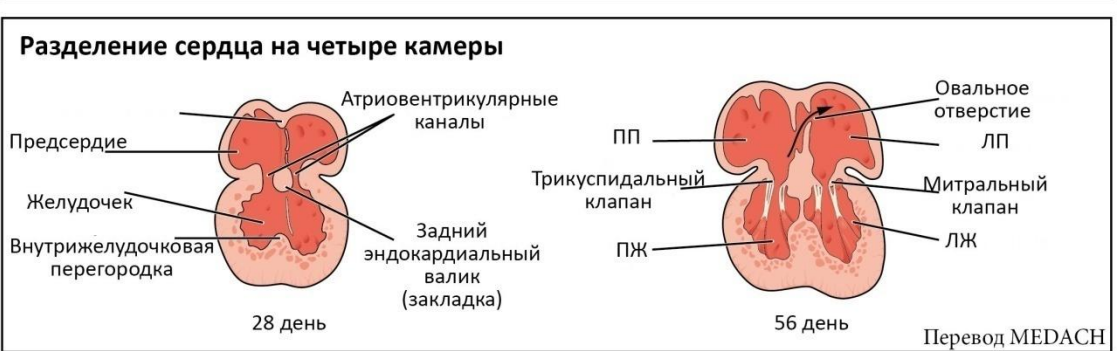


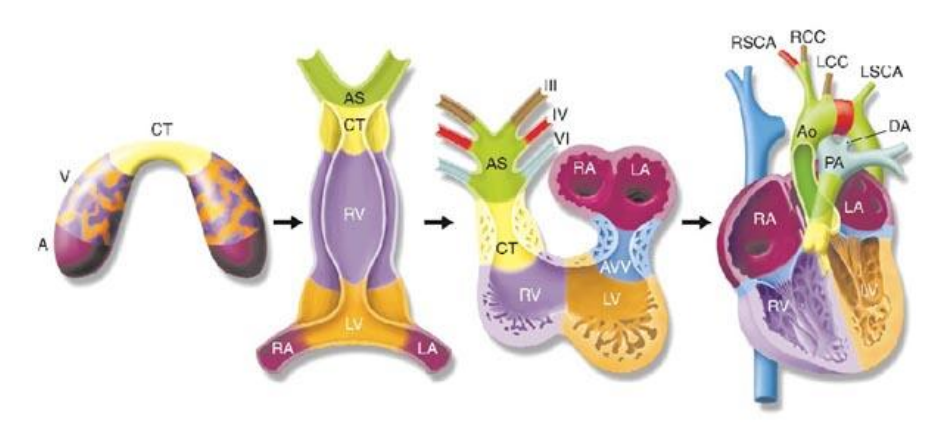
Locally propagating subsarcolemmal Ca²⁺ releases (LCR) generated by the SR *via* ryanodine receptors

Zsófia Kohajda et al., The Cardiac Pacemaker Story—Fundamental Role of the Na⁺/Ca²⁺ Exchanger in Spontaneous Automaticity 2020 Front. Pharmacol. https://doi.org/10.3389/fphar.2020.00516











Первые сокращения происходят в первых сформировавшихся кардиомиоцитах еще до того, как они выстроятся в орган.

Эти сокращения отдельных клеток происходят вразнобой и координируются только по мере их объединения в ткань сердечной мышцы. Выяснилось, что за начало перехода кальция в клетку и обратно важен белок NCX1 (см. ниже), который запускает этот процесс перед первым сокращением клетки.

Richard CV Tyser et al.
Calcium handling precedes cardiac differentiation
to initiate the first heartbeat // Developmental Biology, (2016)
https://doi.org/10.7554/eLife.17113

Экспрессия гена *Tbx18 – критически важного на* ранних этапах дифференцировке кардиомиоцитов SAN, запускает трансформацию рабочих кардиомиоцитов в *A-типические* (мышь).

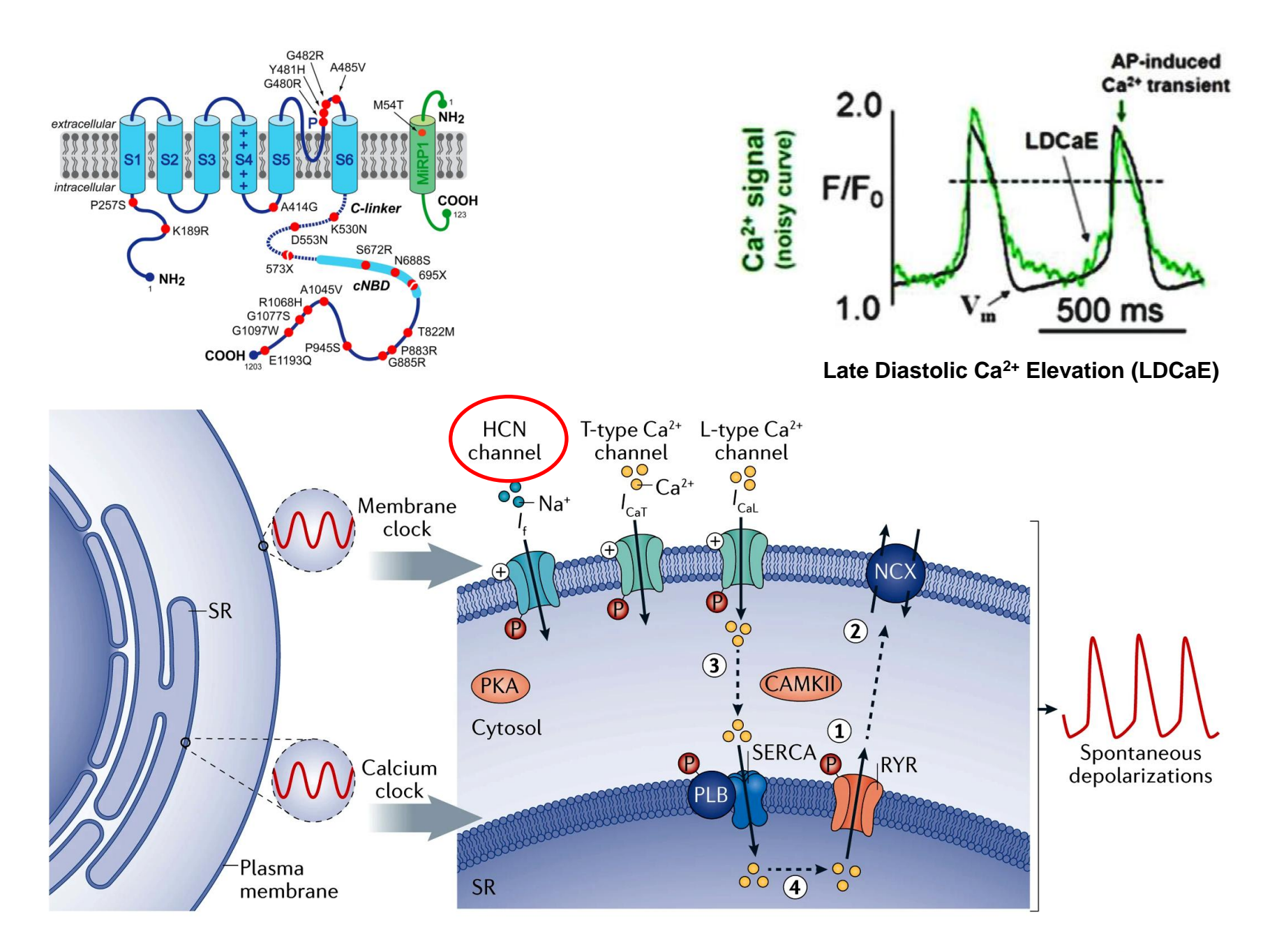
Nidhi Kapoor et al., Direct conversion of quiescent cardiomyocytes to pacemaker cells by expression of *Tbx18 // Nature Biotechnology* vol. 31, pages 54–62 (2013)

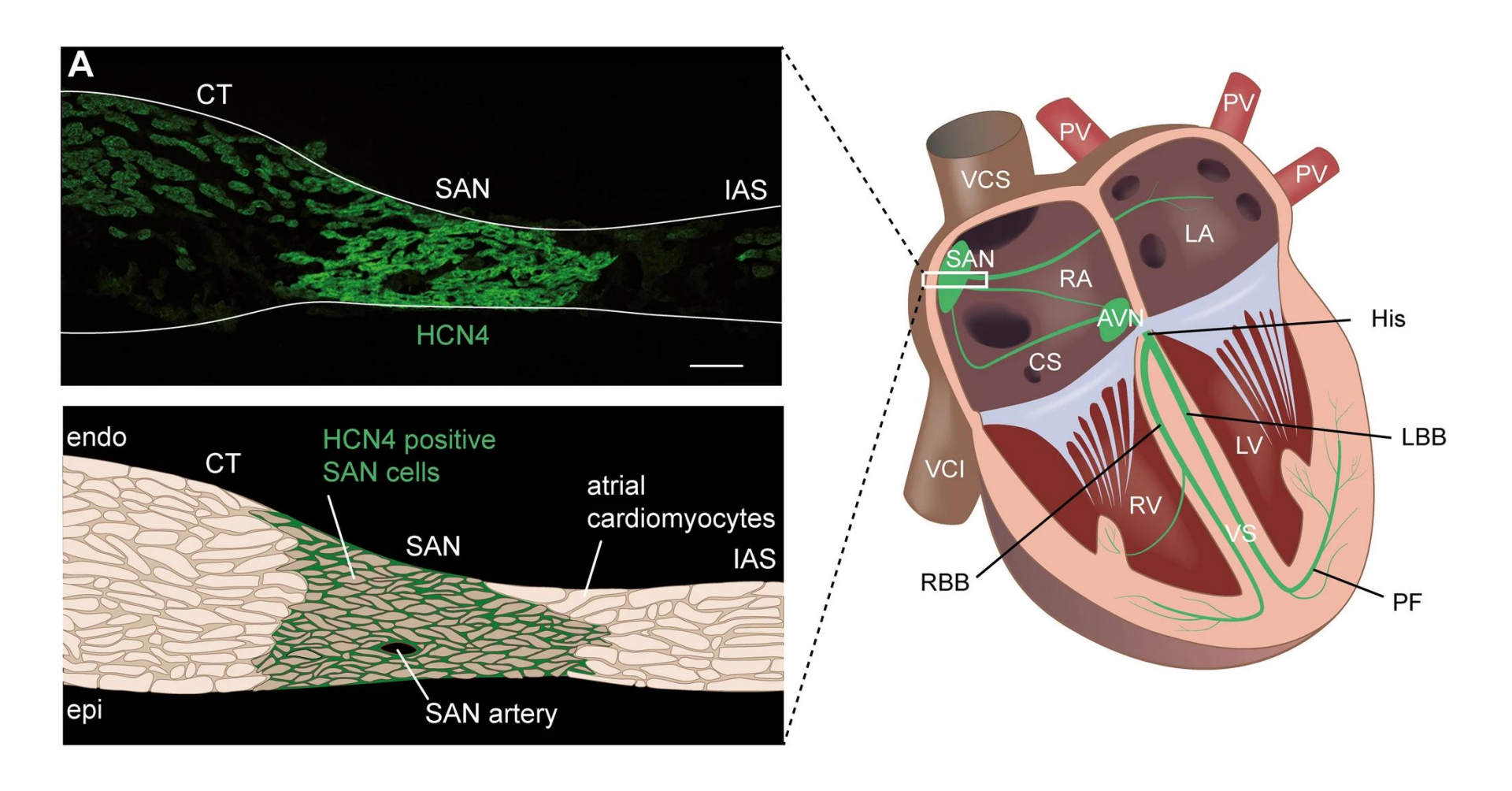
Day 15

Day 21

Day 28

Day 50





Konstantin Hennis et al, Paradigm shift: new concepts for HCN4 function in cardiac Pacemaking // Pflügers Archiv - European Journal of Physiology https://doi.org/10.1007/s00424-022-02698-4

Фазы ПД рабочего кардиомиоцита.

Фаза 0 – быстрая деполяризация (входящий ток ионов Na+) заканчивающаяся инактивацией каналов (прекращение входа Na+ в клетку) – начало абсолютной рефрактерности.

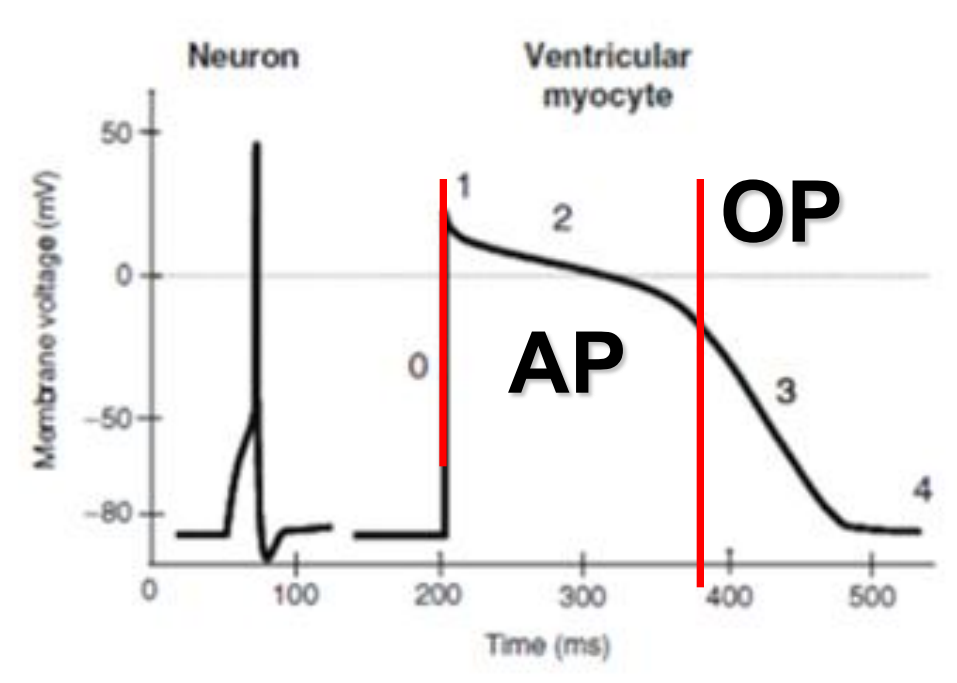
Фаза 1 — начальная быстрая реполяризация выходящий ток ионов К+ (и входящий ток ионов Cl⁻ - малый вклад в базовую проводимость, но увеличивается при растяжении (ICl⁻swell), активации PKA(ICl⁻PKA), увеличении ионов Ca²⁺ (ICl⁻Ca).

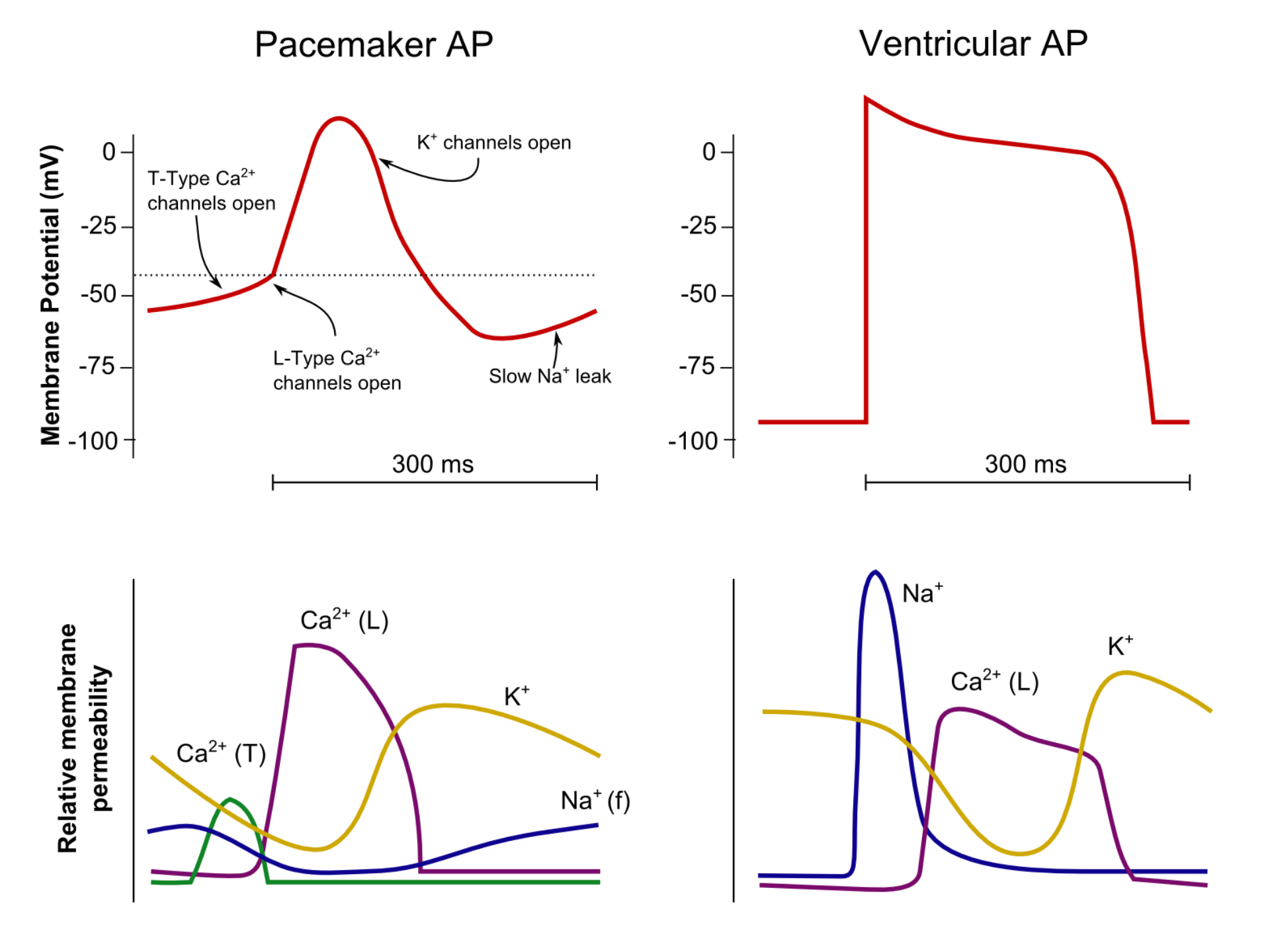
Фаза 2 – медленная реполяризация (вход в клетку ионов Ca²⁺ и выход K⁺)

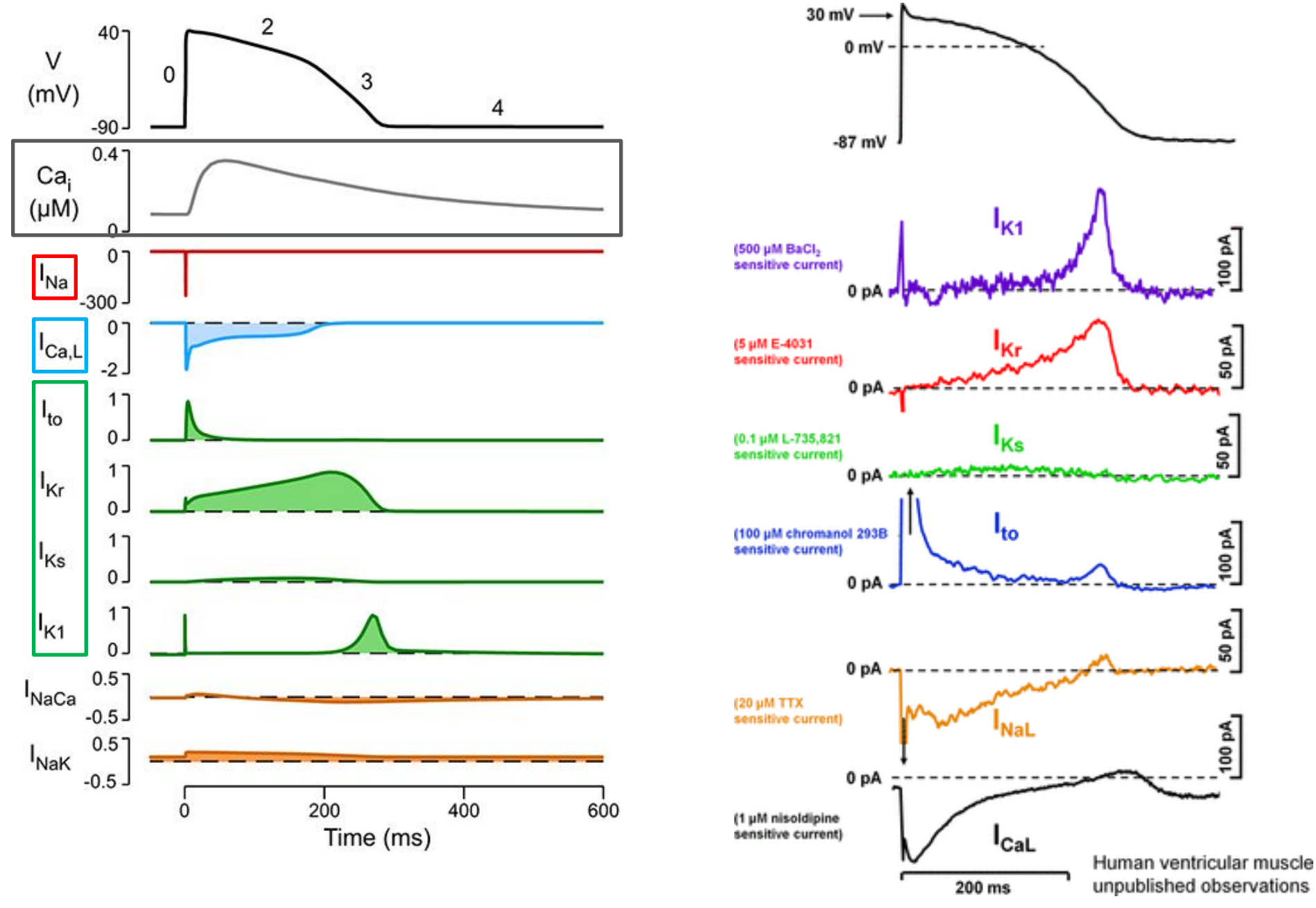
Фаза 3 – быстрая конечная реполяризация (выход ионов К+)

Фаза 4 - ПП

Длительная фаза абсолютной рефрактерности - делает невозможным повторные внеочередные систолы – эксрасистолы.

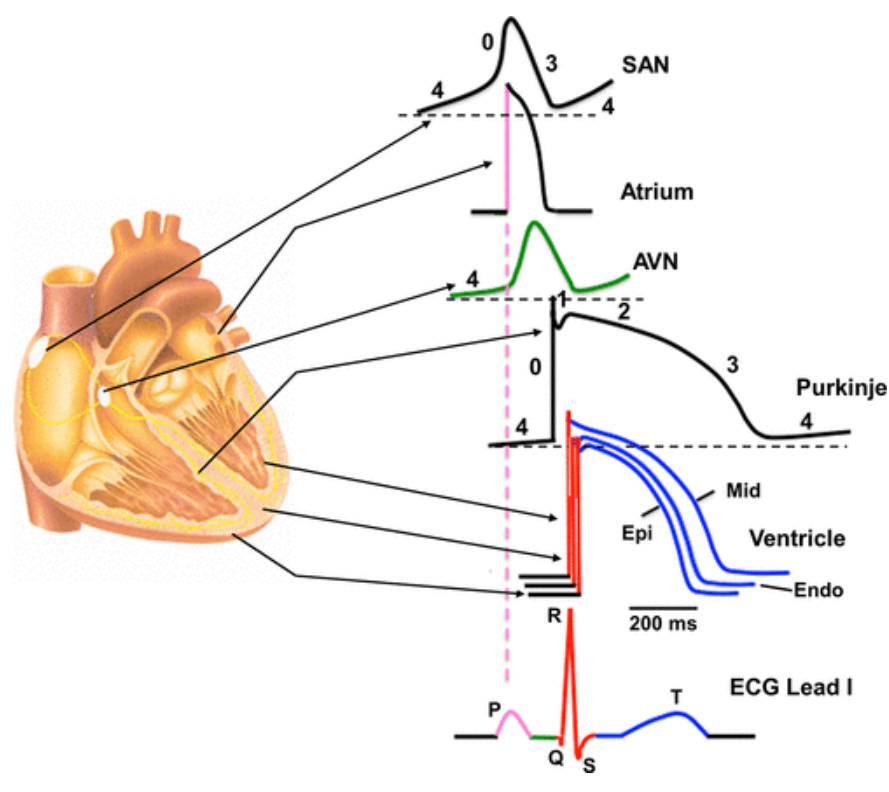


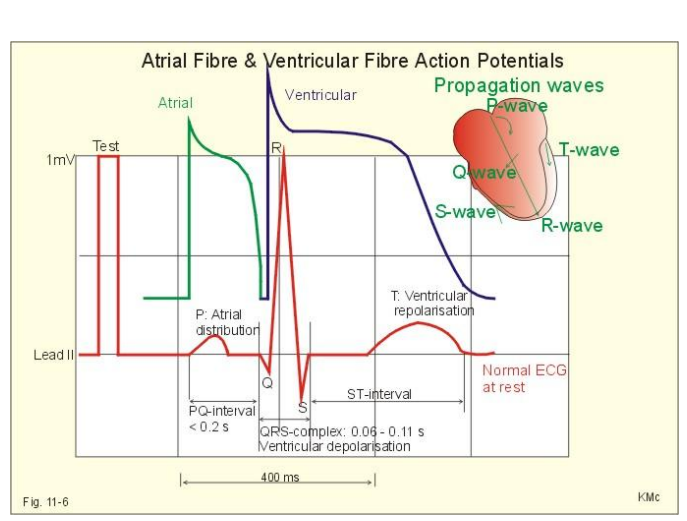


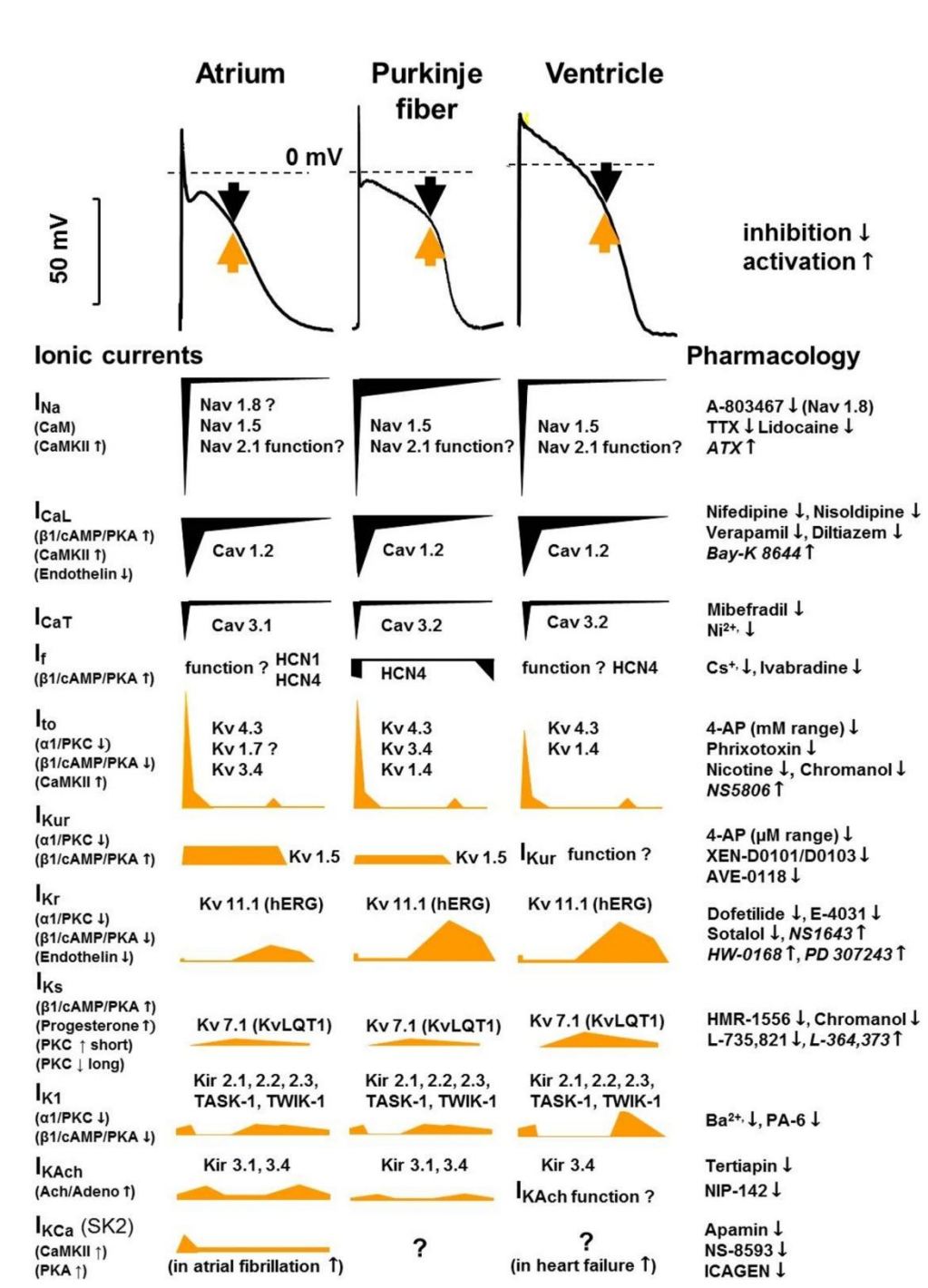


Trine Krogh-Madsen and David J Christini Quantitative description of cardiac action potentials // Modeling and Simulating Cardiac Electrical Activity, 2020

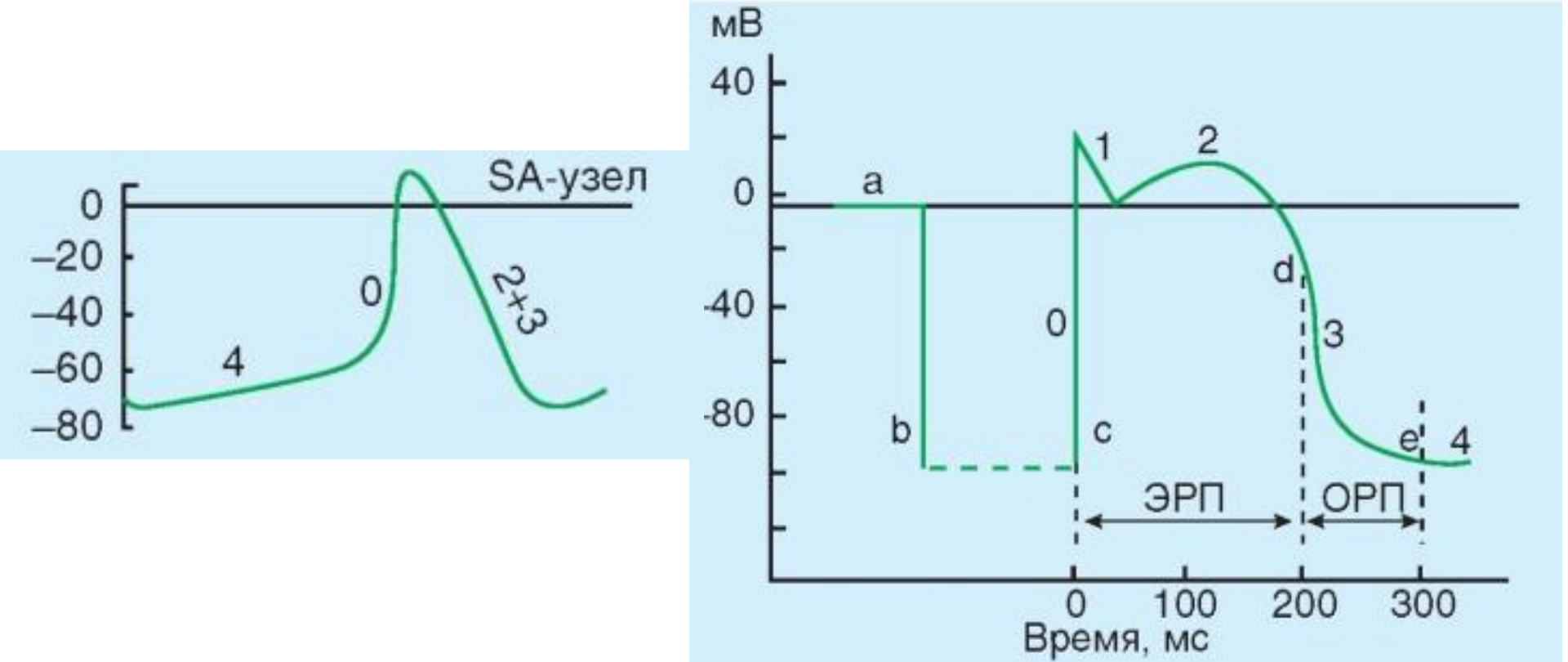
András Varró et al., Cardiac transmembrane ion channels and action potentials: cellular physiology and arrhythmogenic behavior // 2021 https://doi.org/10.1152/physrev.00024.2019





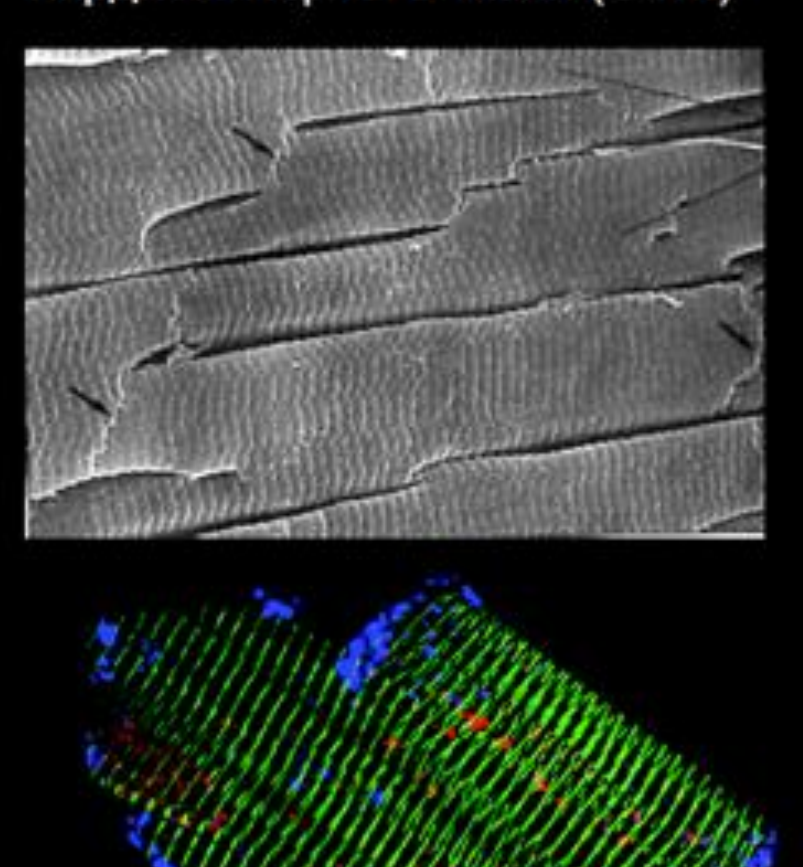


Атипические кардиомиоциты боле возбудимы чем клетки рабочего миокарда

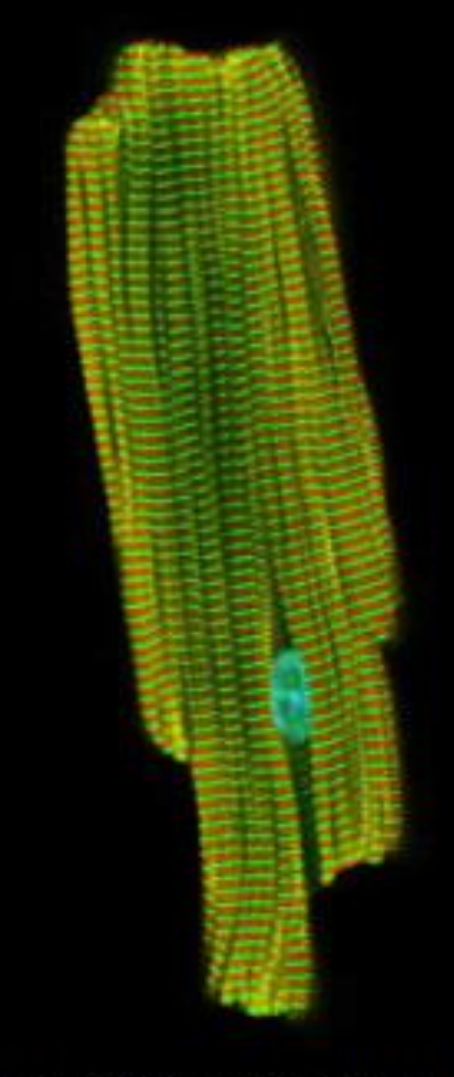


Как выглядит кардиомиоцит?

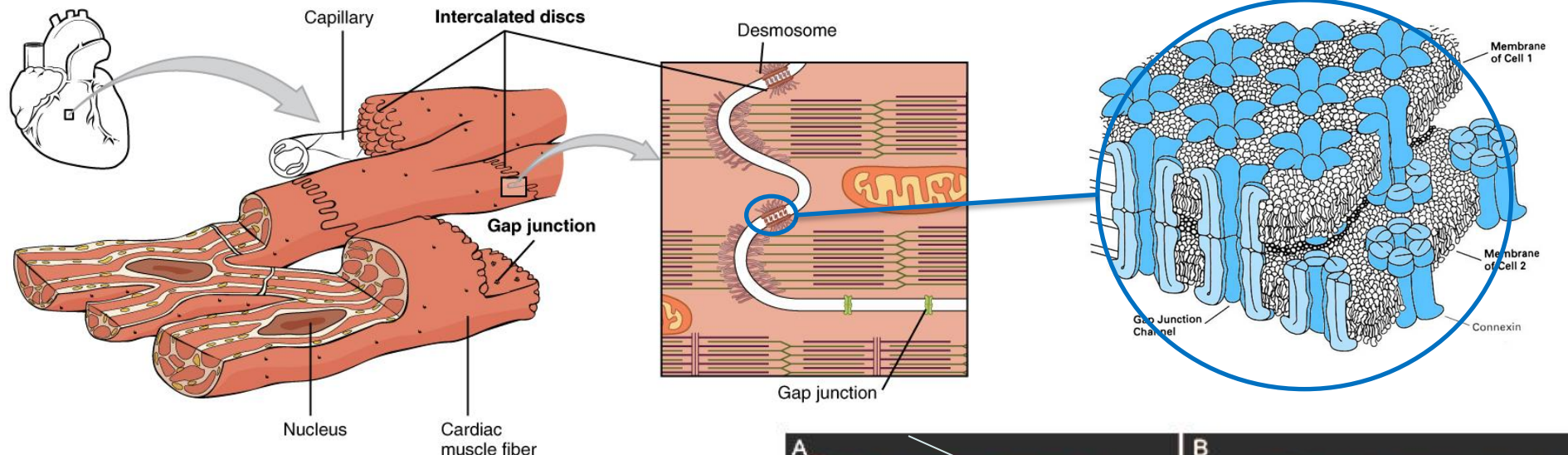
Кардиомиоциты в ткани (СЭМ)





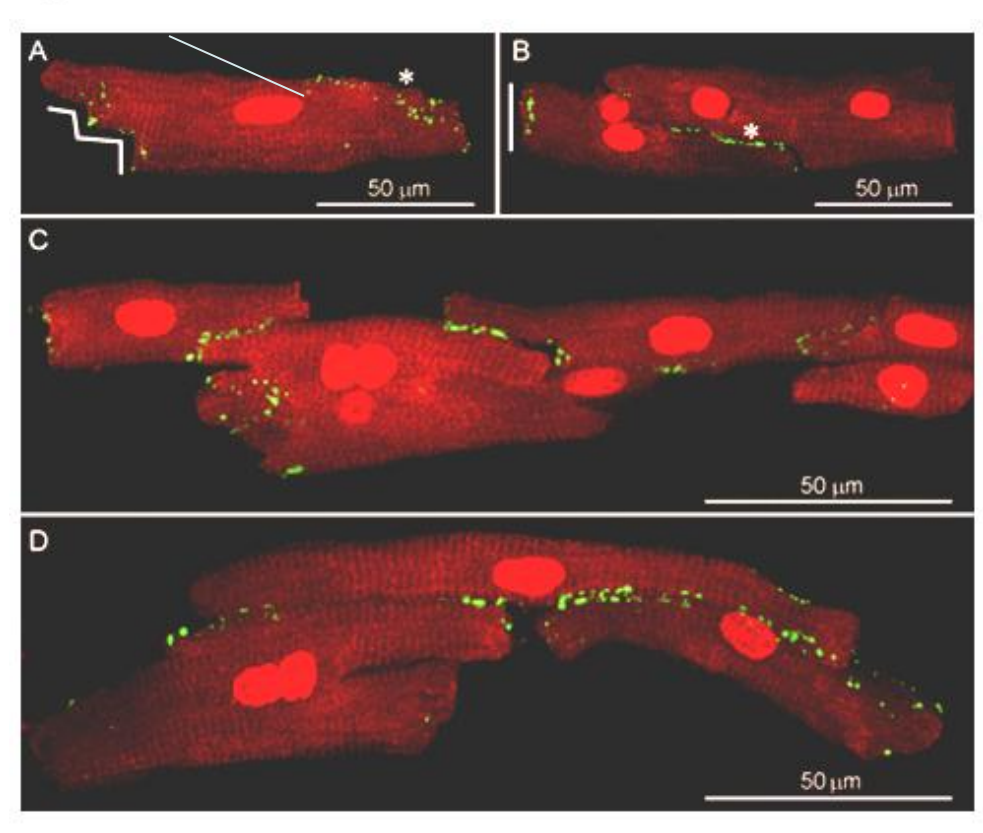


Окраска на актин и миозин



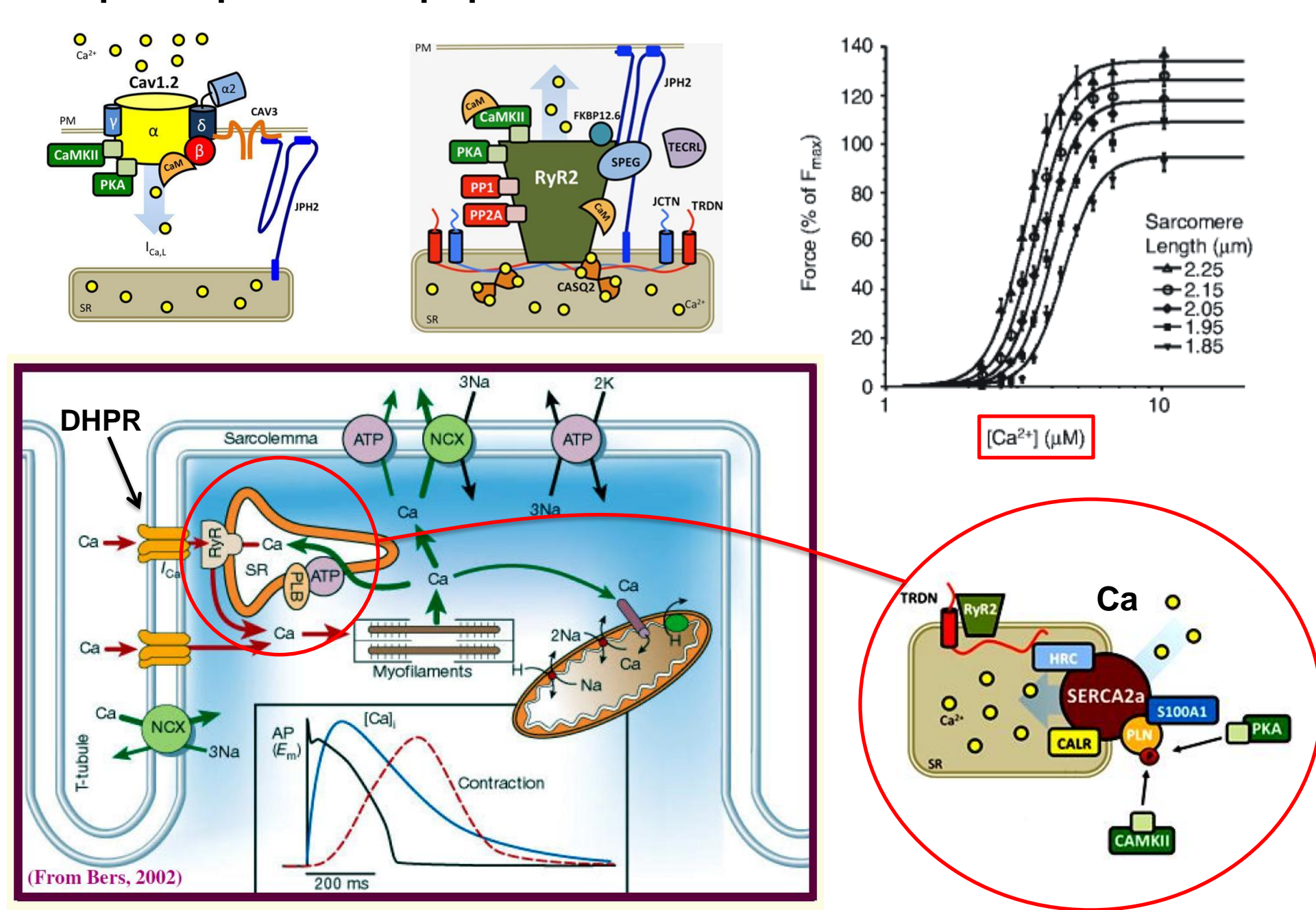
Щелевые контакты в миокарде

(функциональный синцитий закон "Все или ничего")

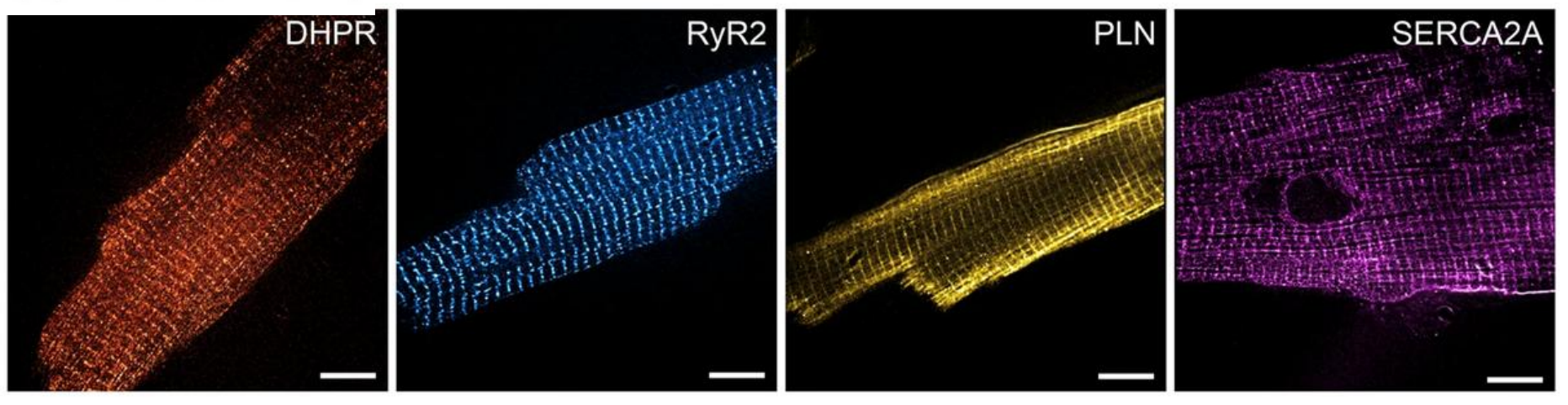


Nicholas J. Severs et al, 2008

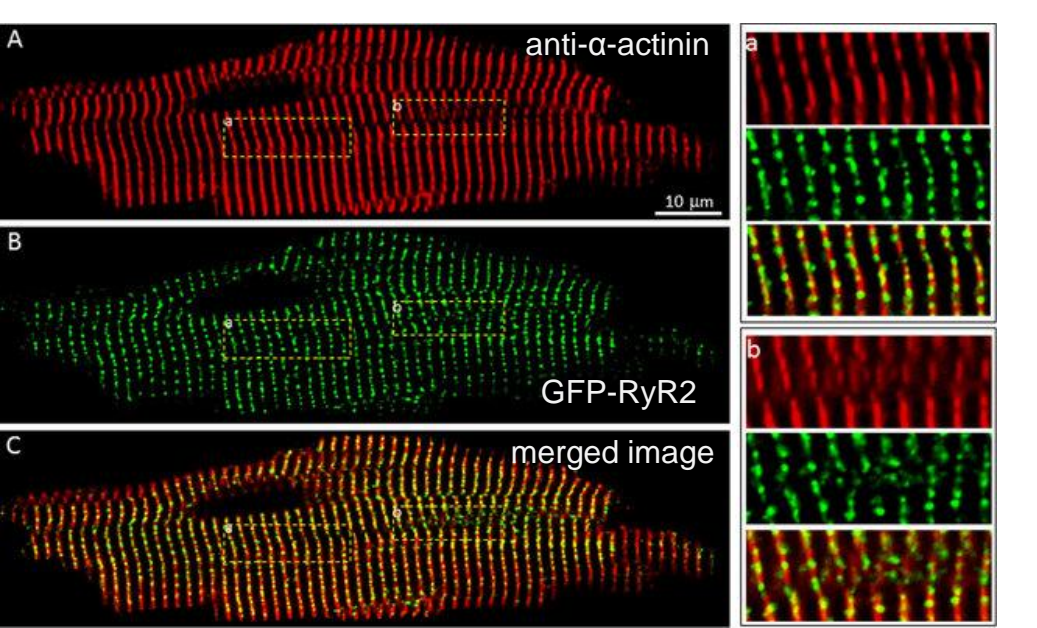
Тригерный эффект внеклеточного кальция

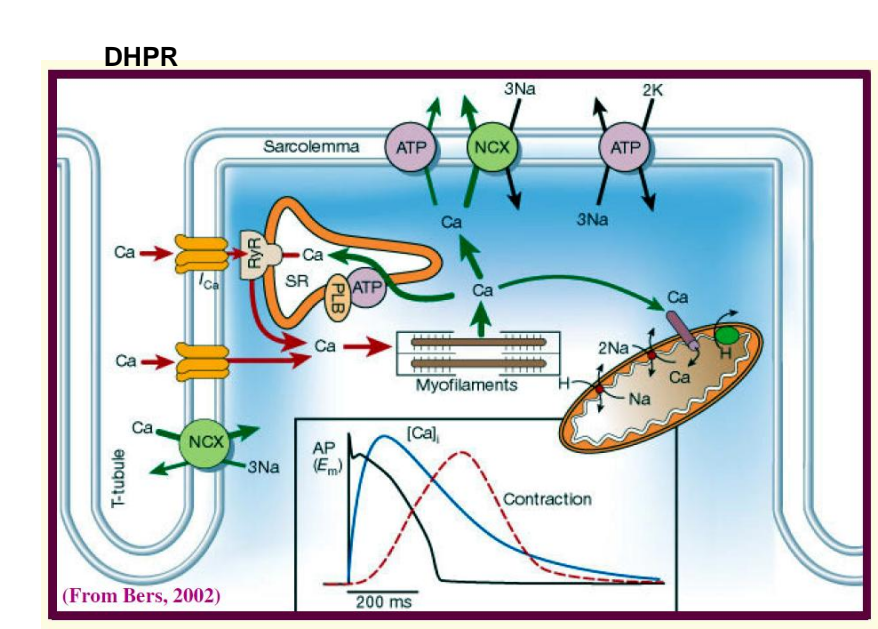


dSTORM microscopy (x,y resolution ~20nm)

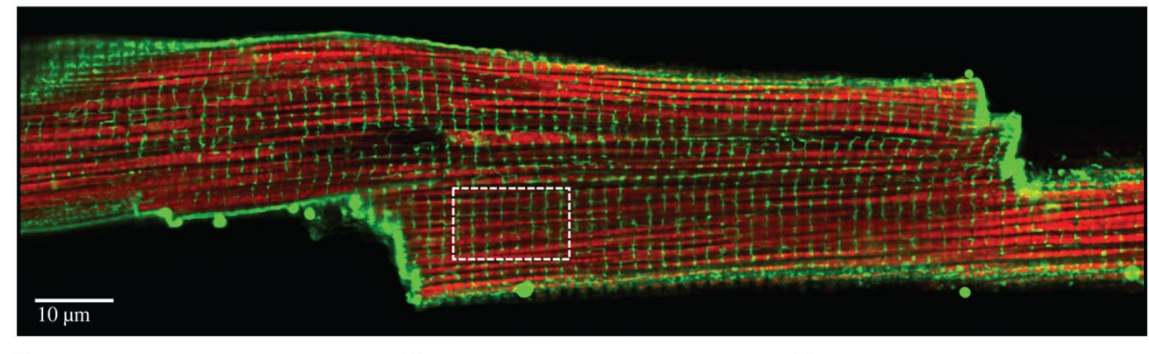


Co-localization of GFP-RyR2 clusters with the Z-Line zone.



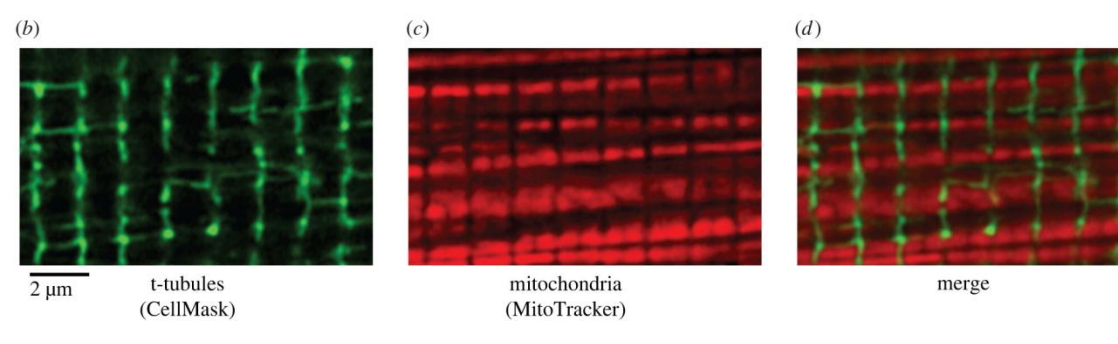


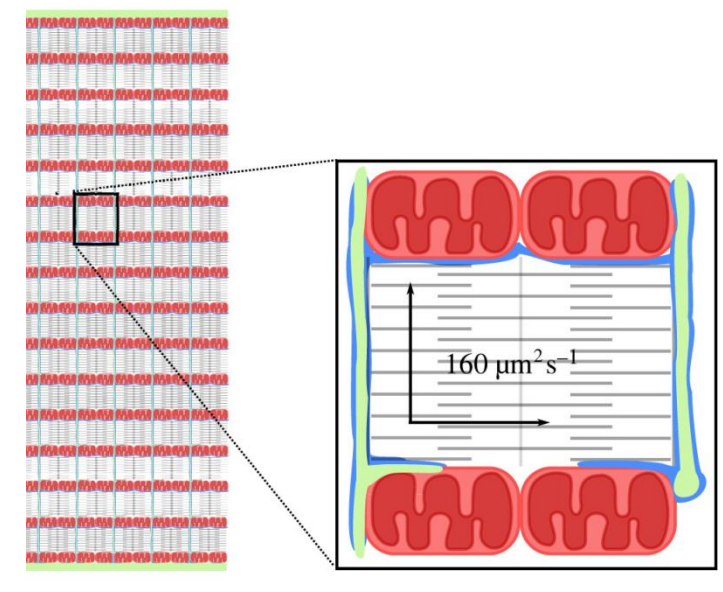
(a)

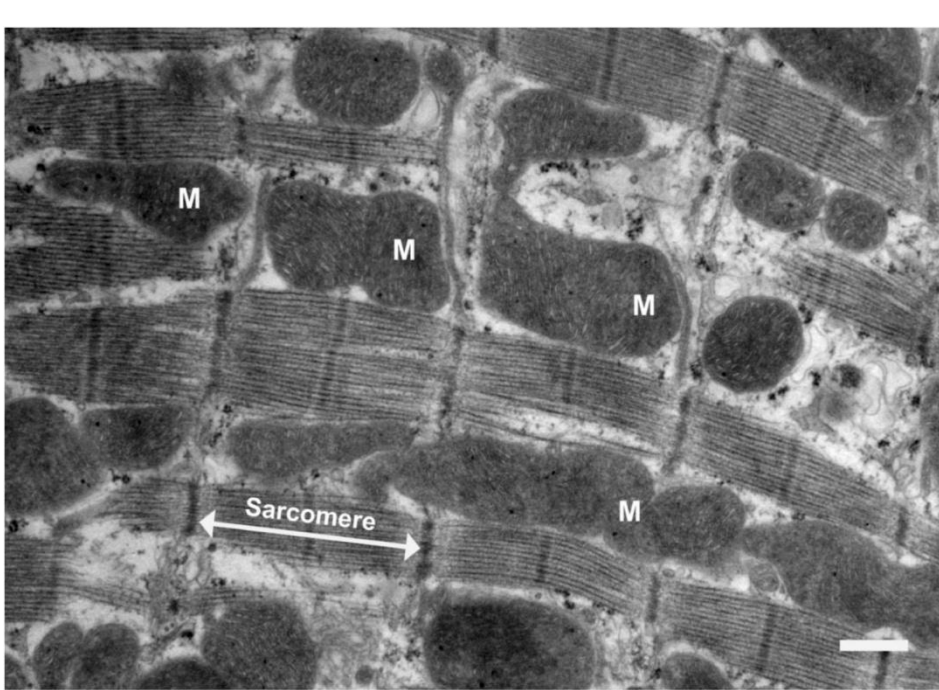


Ontogeny of cardiomyocytes:
ultrastructure optimization
to meet the demand for tight communication
in excitation-contraction coupling
and energy transfer. R Birkedal et al.
2022

https://doi.org/10.1098/rstb.2021.0321

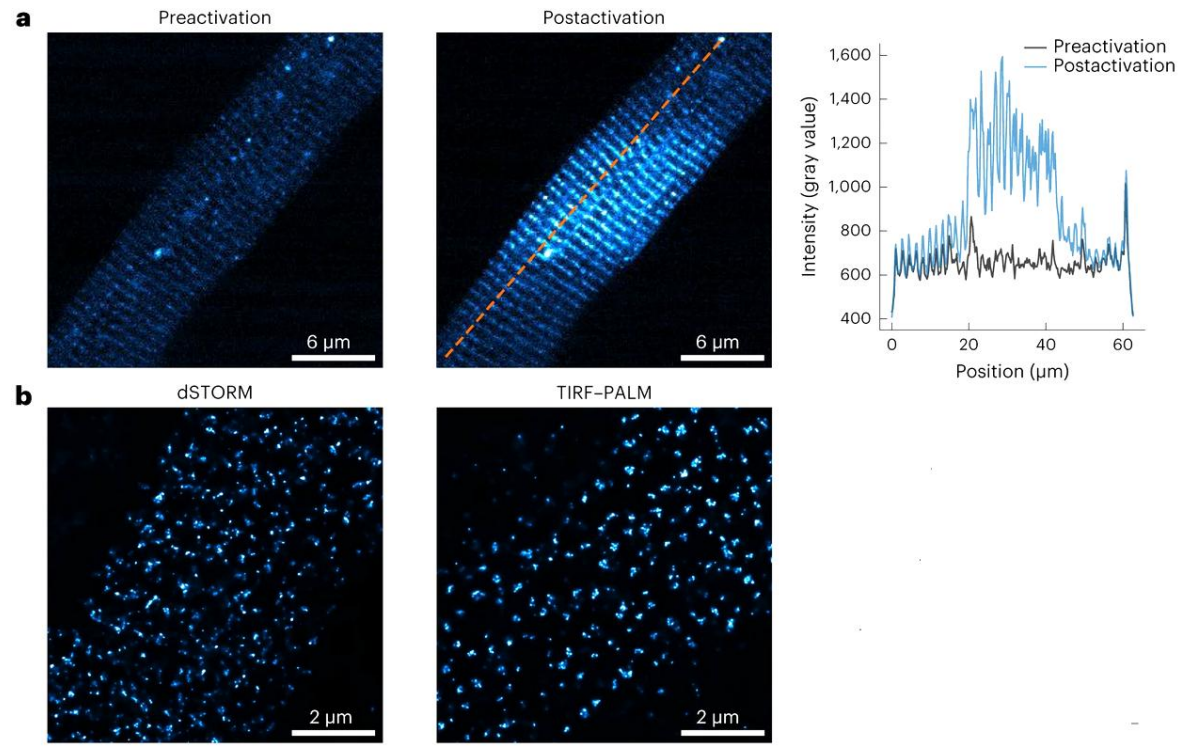




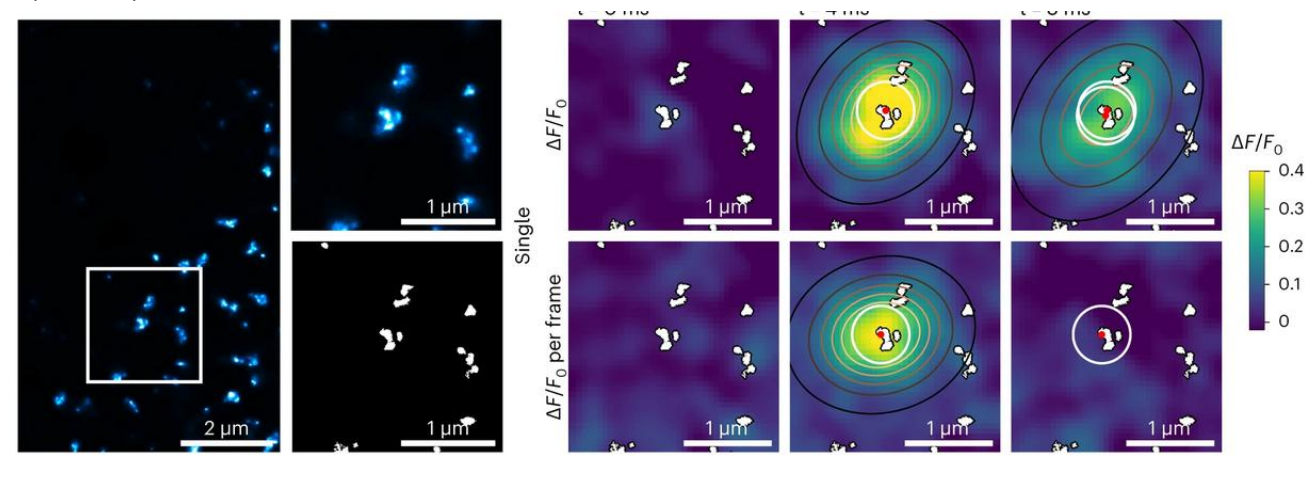


RyR photoactivation

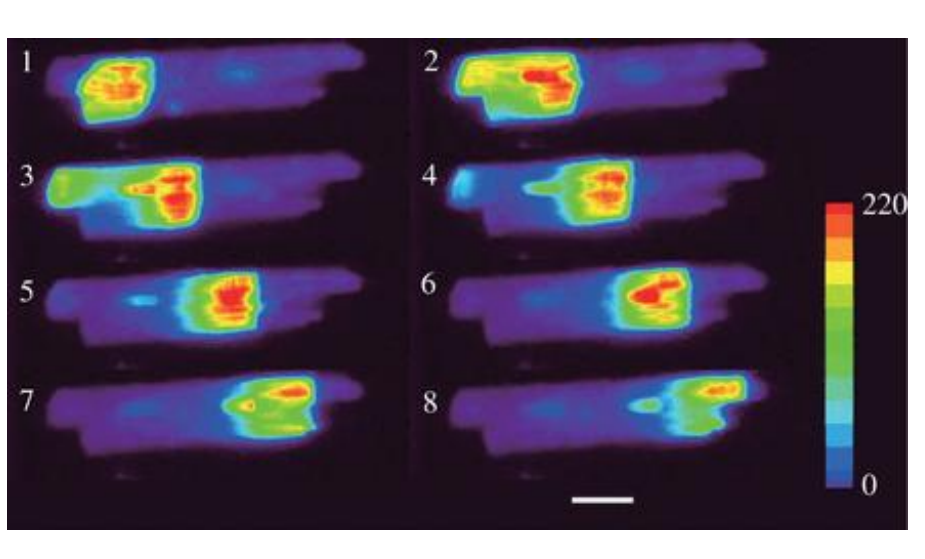
Live-cell photoactivated localization microscopy correlates nanoscale ryanodine receptor configuration to calcium sparks in cardiomyocytes. Yufeng Hou, et al. *Nature Cardiovascular Research* volume 2, pages 251–267 (2023)



Super-resolution RyR images obtained by fixed-cell surface dSTORM (left) and live-cell TIRF-PALM (middle)



Кальциевые волны в кардиомиоцитах



Xi Chen at al, 2016

